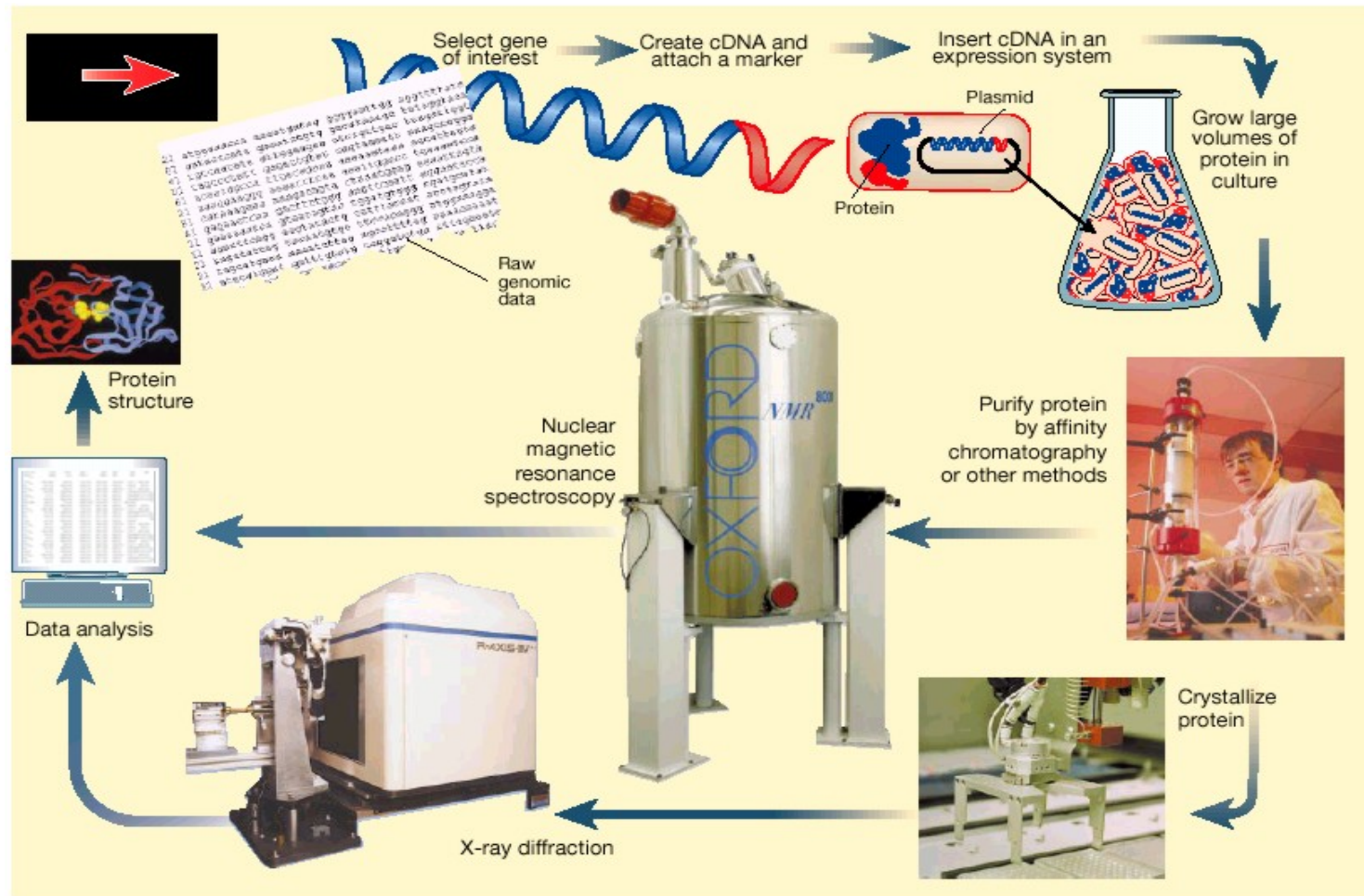


# **Expresa a purifikace rekombinantních proteinů**

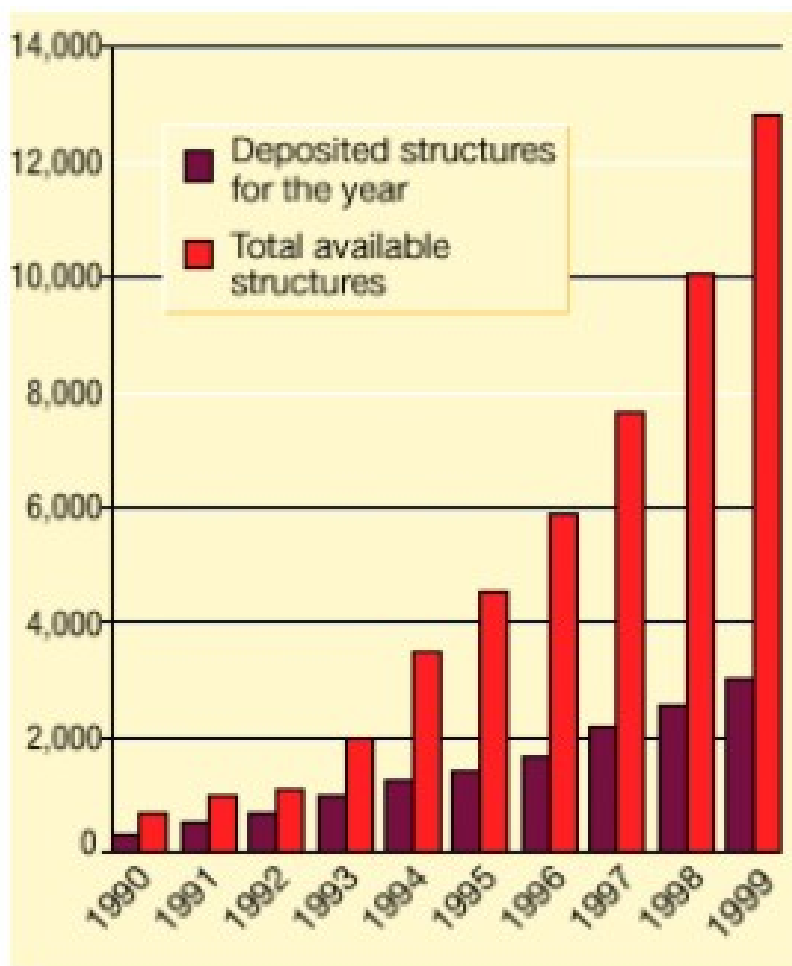
# Exprese a purifikace rekombinantních proteinů

- od genů k proteinům
- základní techniky genového inženýrství
  - expresní vektory
  - stanovení sekvence DNA
  - místně řízená mutageneze
- exprese rekombinantních proteinů
  - afinitní značky
  - purifikační postupy

# Od genomu k množině trojrozměrných struktur proteomu



# Dynamika nárůstu počtu vyřešených trojrozměrných struktur proteinu



Vyřešení první trojrozměrné struktury proteinu (hemoglobinu; Perutz et al., Nature 185, 416-422, 1960) trvalo 22 let.

Předpokládaný výkon v současné době zakládané “Protein Structure Factory” (Německo) je odhadován na 100 - 200 vyřešených struktur ročně. Jednotky se srovnatelnými ambicemi jsou zřizovány v USA a v Japonsku.

# Exprese a purifikace rekombinantních proteinů

- od genů k proteinům
- základní techniky genového inženýrství
  - expresní vektory
  - stanovení sekvence DNA
  - místně řízená mutageneze
- exprese rekombinantních proteinů
  - afinitní značky
  - purifikační postupy

# Expresní konstrukty

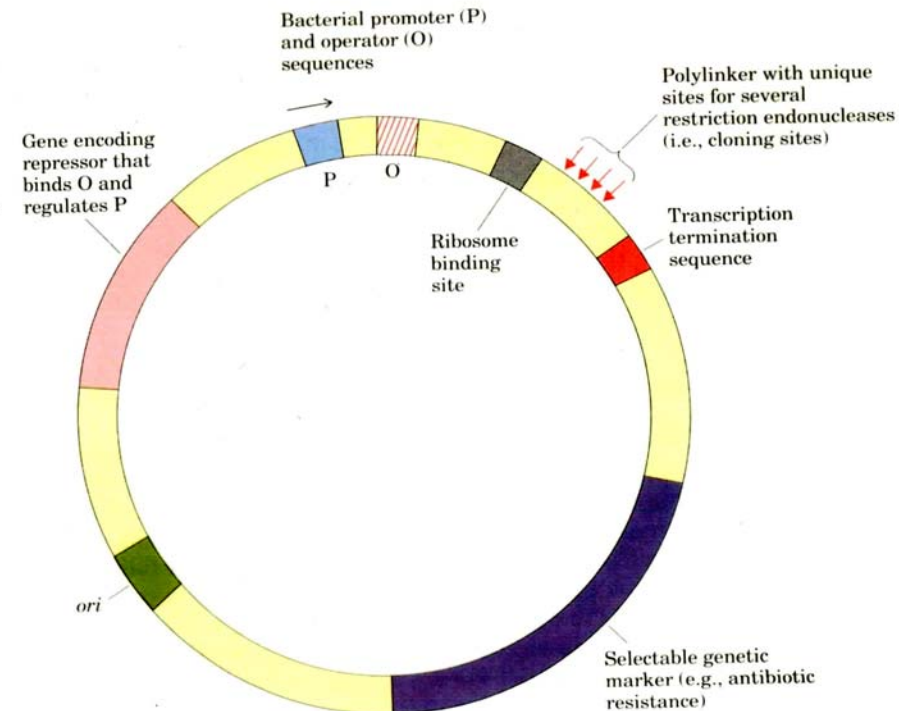
## STRUKTURA EUKARYOTNÍHO GENU



## cDNA

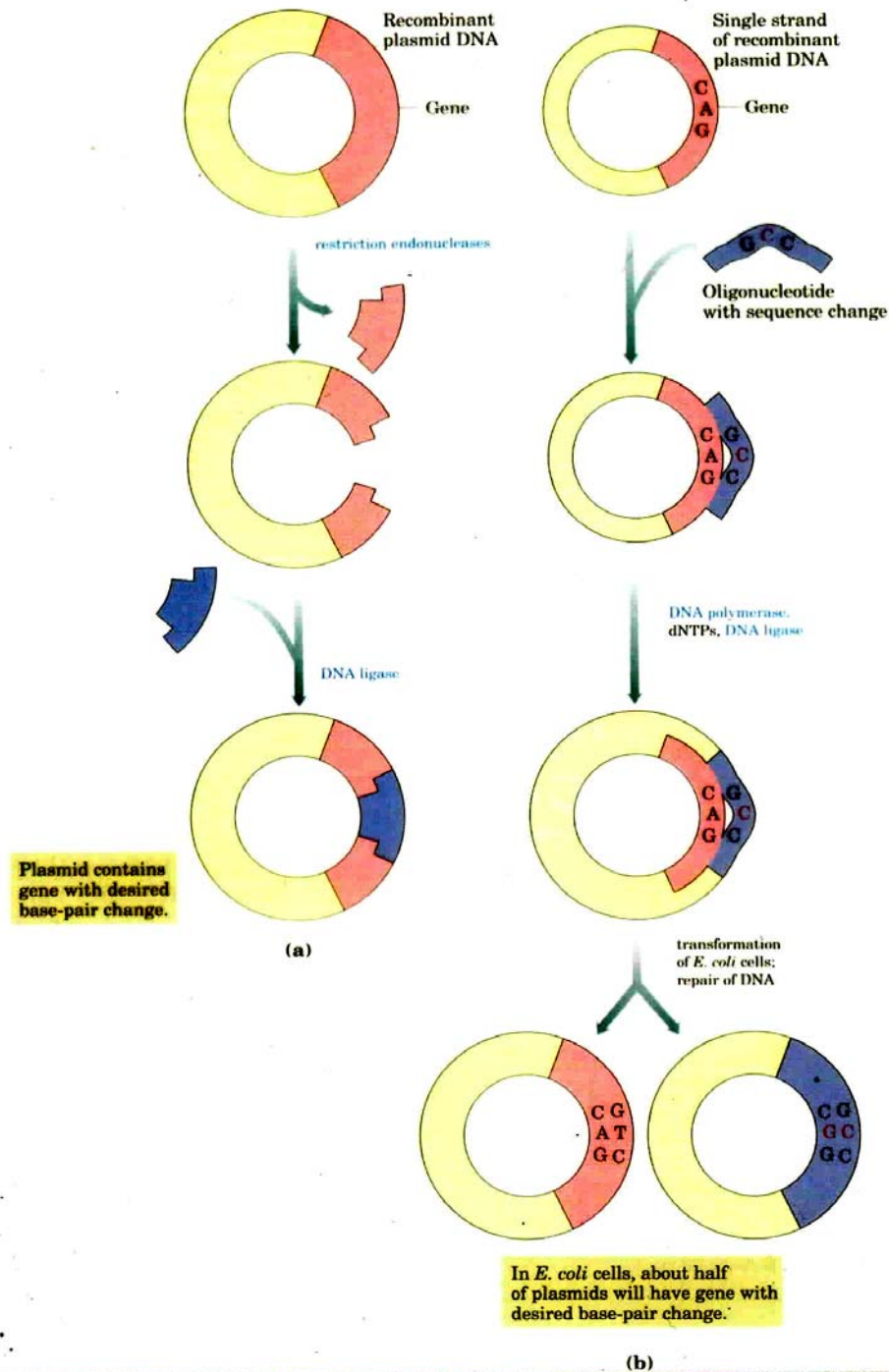


## EXPRESNÍ KONSTRUKT



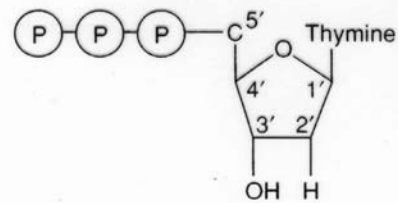
- transformace;
- indukce exprese rekombinantního proteinu;
- extrakce a purifikace rekombinantního proteinu.

# Řízená mutageneze

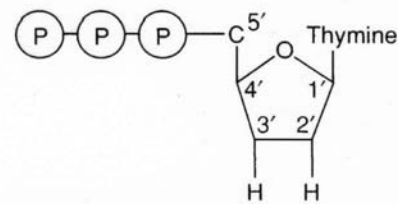




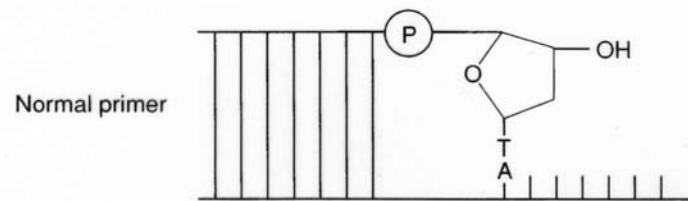
# Sekvenování DNA podle Sanger (enzymatická metoda)



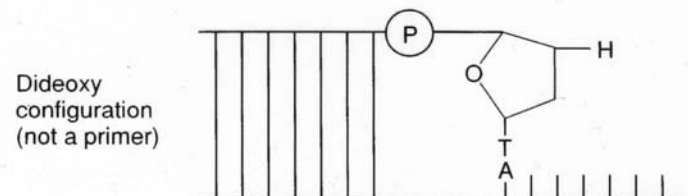
Deoxythymidine triphosphate (dTTP)



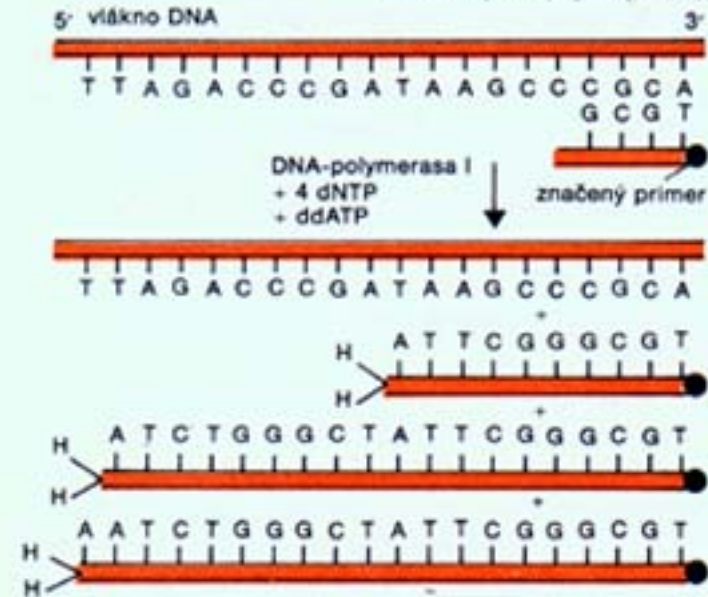
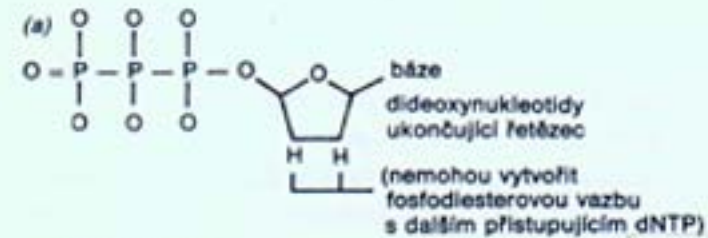
Dideoxythymidine triphosphate (ddTTP)



Normal primer

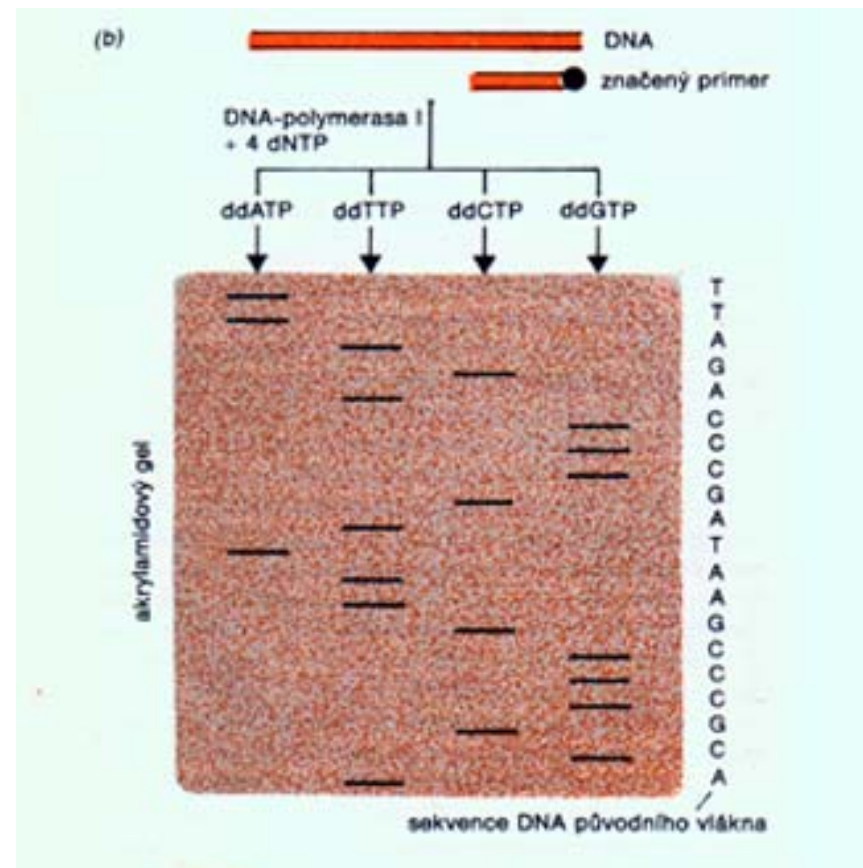
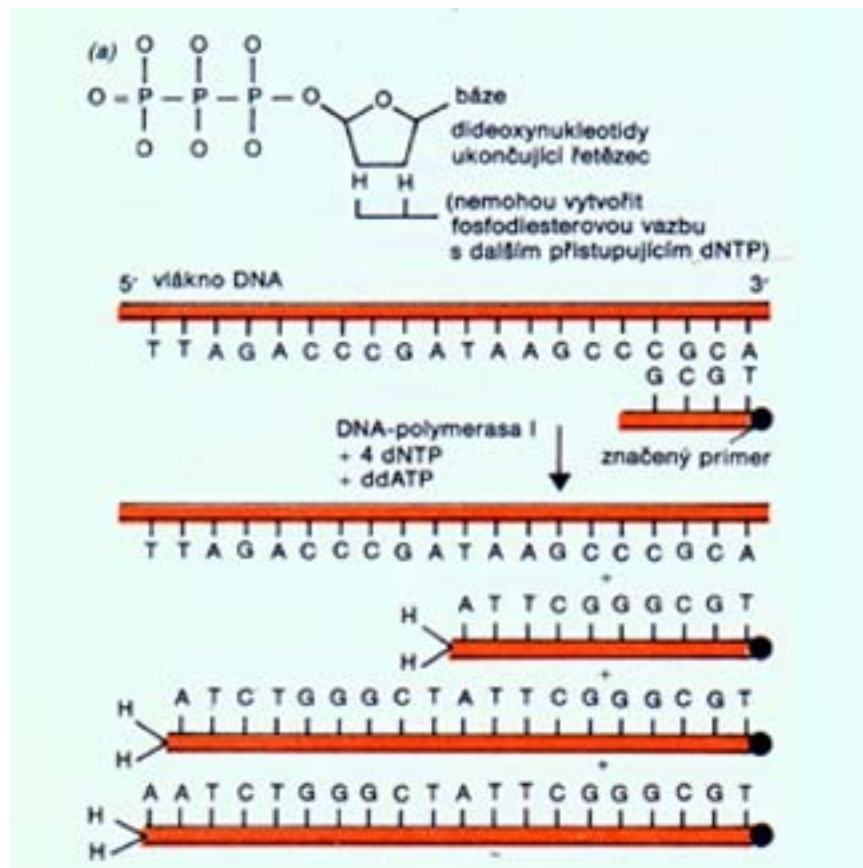


Dideoxy configuration  
(not a primer)





# Sekvenování DNA podle Sangera (enzymatická metoda)





**...a takto  
vypadá  
autoradiogram,  
z něhož se  
odečítá  
sekvence....**

# Od “ruční práce“ k automatizaci....

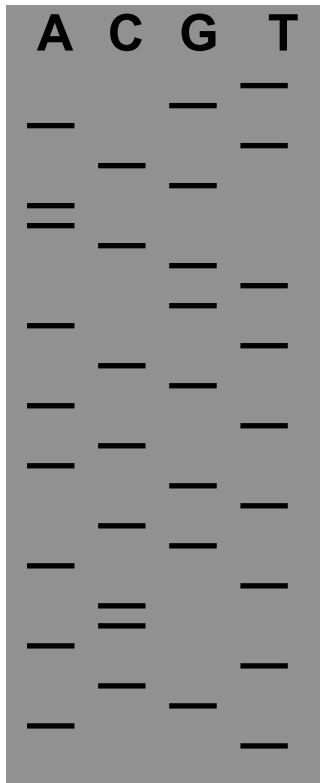
- objev termostabilních DNA polymeráz
- PCR 1986
- zavedení fluorescenčního značení  
(fa. Roche Molecular Systems – ABI PRISM - systém  
vícebarevné fluorescence)

## ....od gelu ke kapiláře....

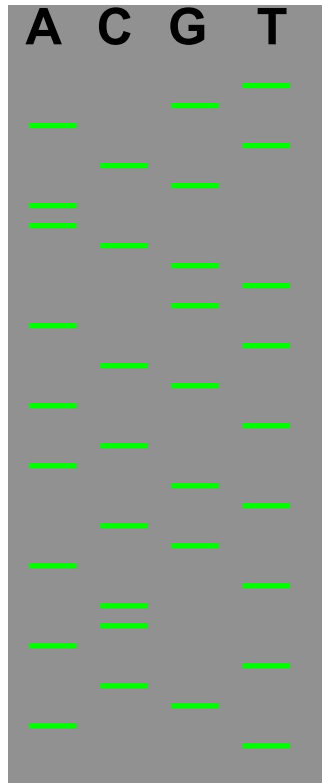
- Výhody:
- odpadá nutnost náročného nalévání gelů a nanášení vzorků na gel (kapilára se plní automaticky)
  - úspora chemikálií
  - reprodukovatelnost

# Od radioaktivity k fluorescenci

Radioaktivní  
značení  
gel



“jednobarevná“  
fluorescence  
gel

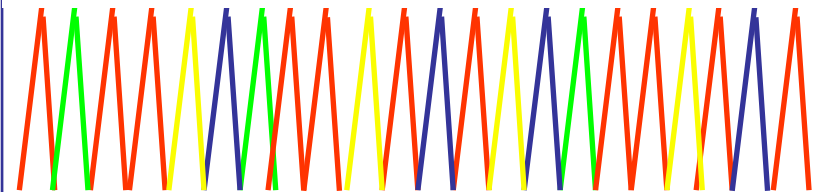


vícebarevná  
fluorescence  
kapilára

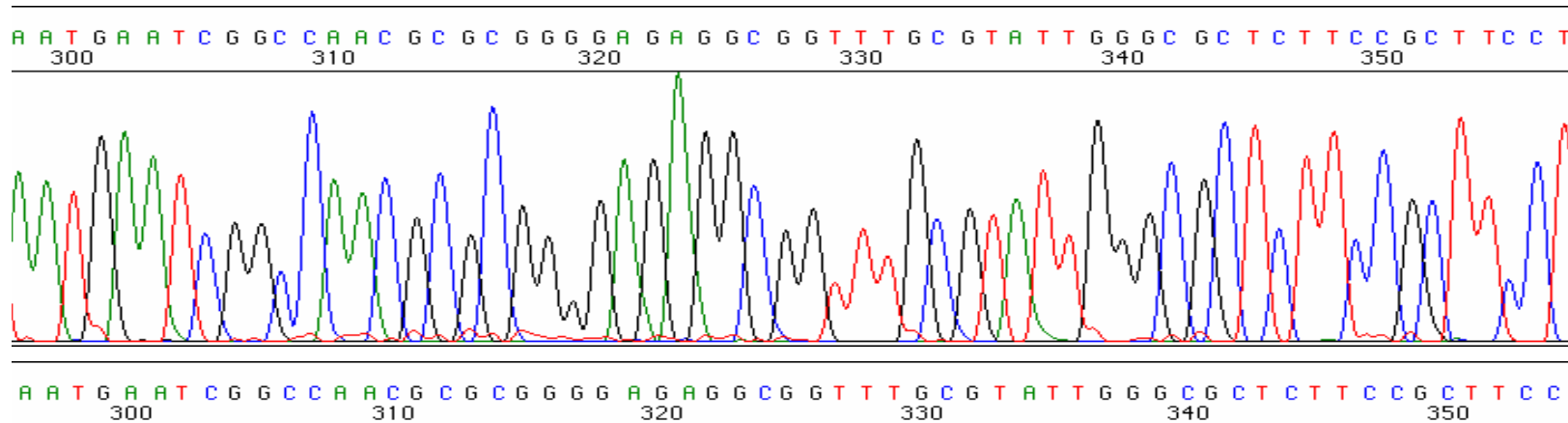


Výsledek sekvenování

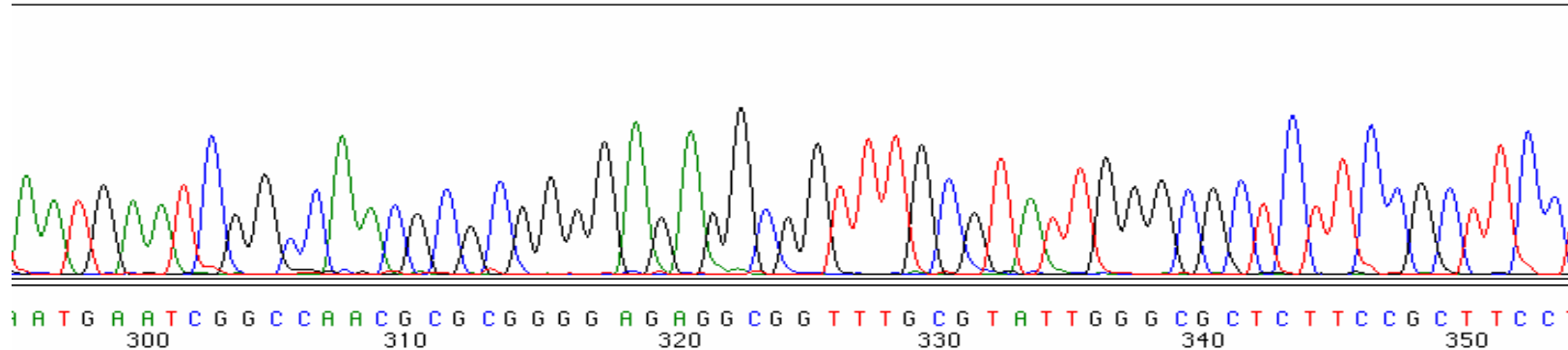
TATTGCATTGTCTGCATTGTCT



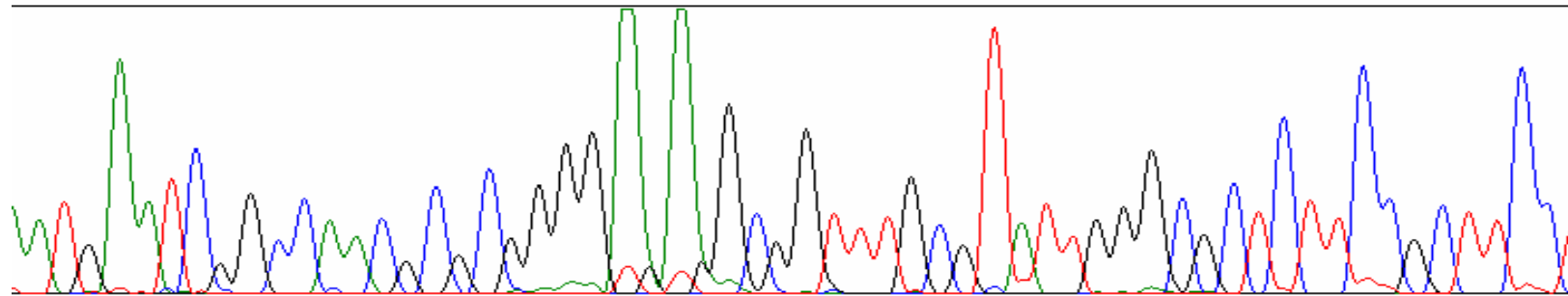
# Vývoj sekvenačních kitů



**BigDye**



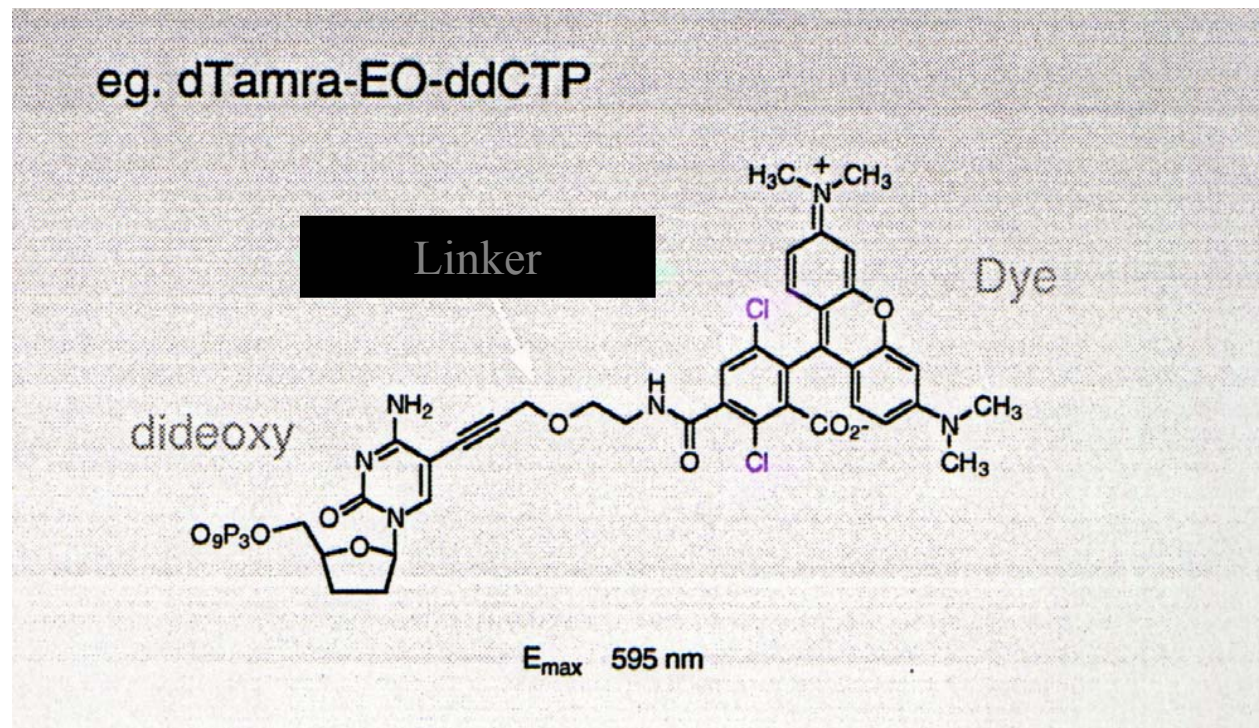
**dRhod**



**Rhodamine**

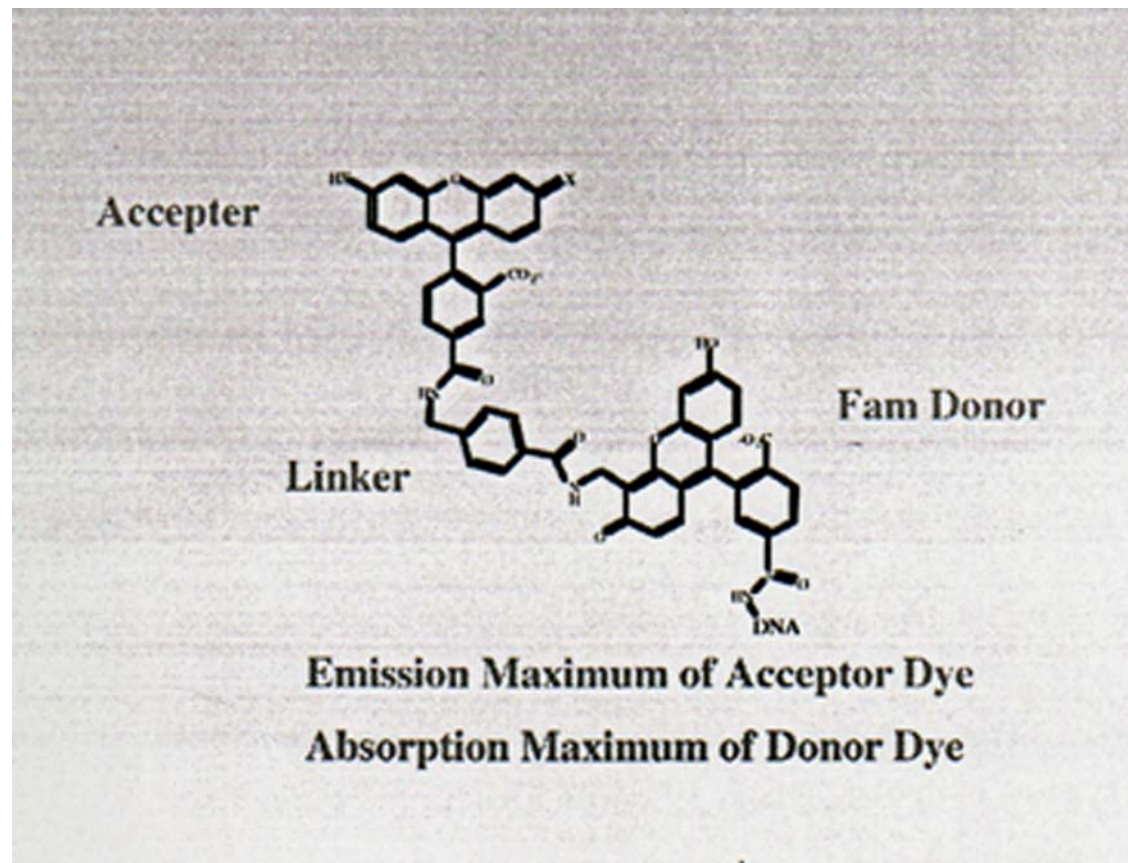


# Struktura fluorescenčních značek - dichlororhodaminy

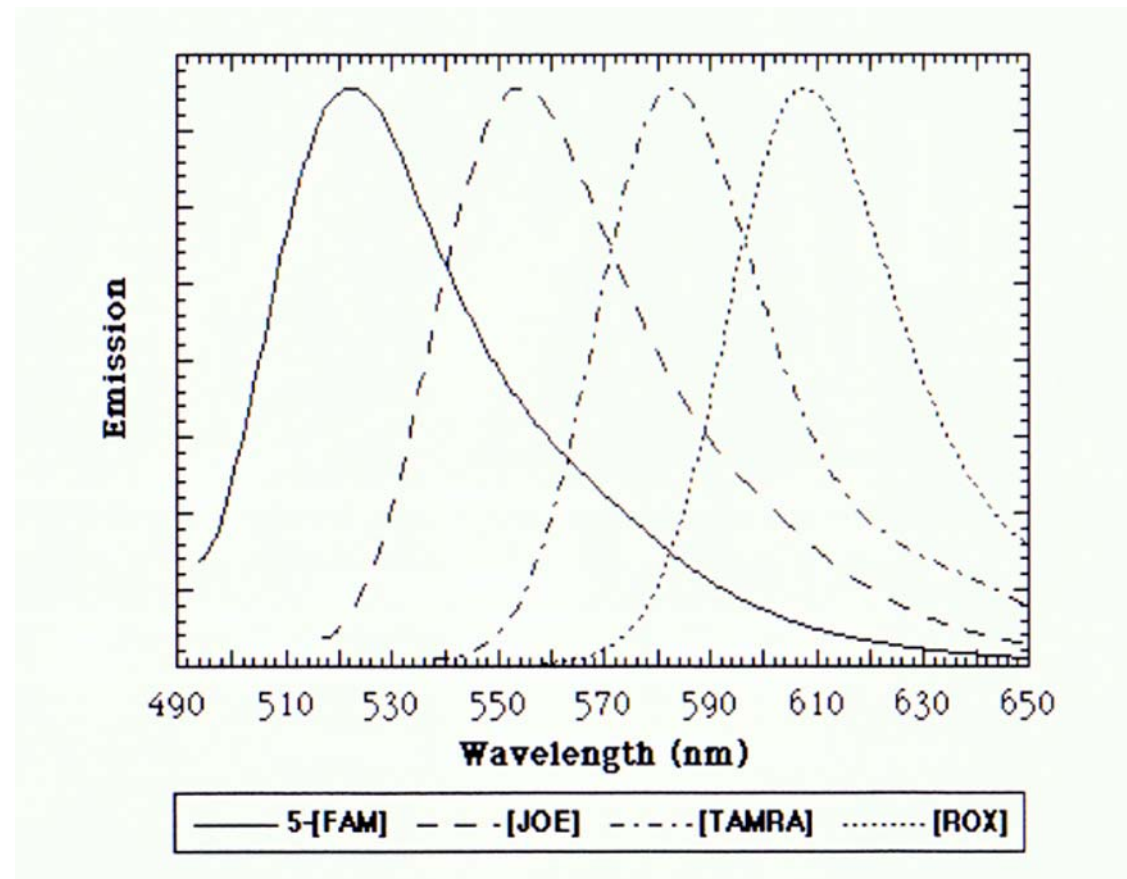




# Struktura fluorescenčních značek “ Big Dye “

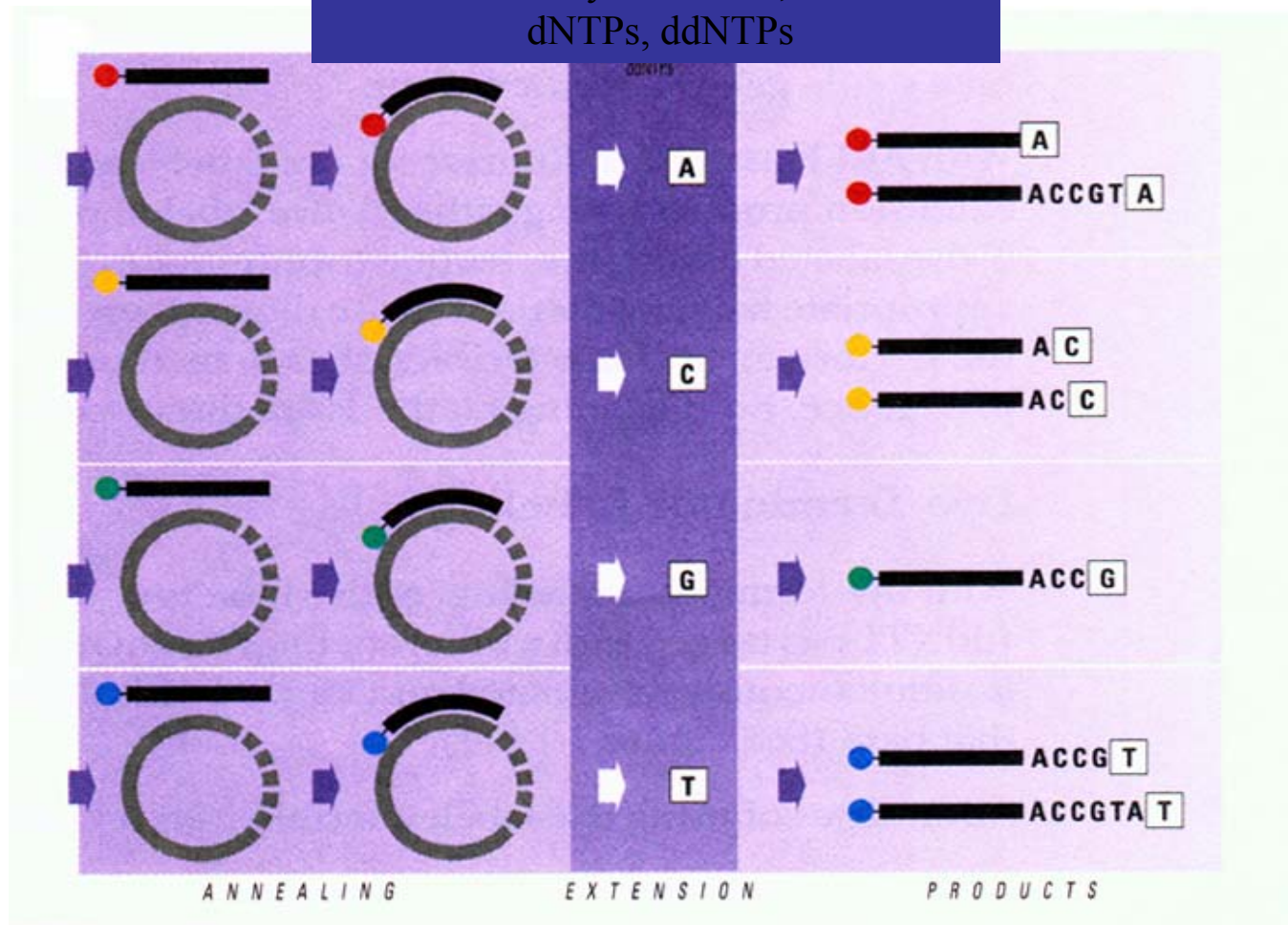


# Emisní spektra



# Sekvenování se značenými primery

Ampli Taq DNA  
Polymerase FS,  
dNTPs, ddNTPs



# Sekvenování se značenými primery

Ideální metoda pro sekvenování inzertů klonovaných do fágů nebo plazmidů

**Výhody:**

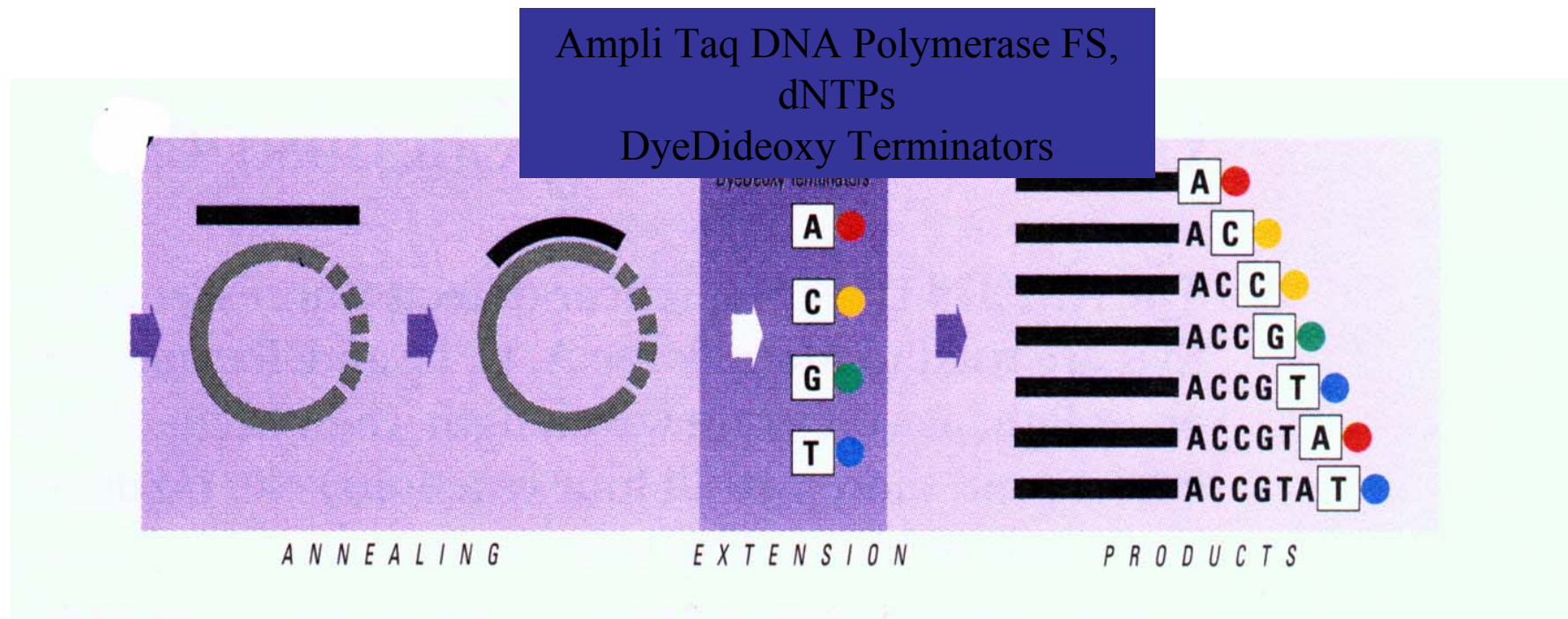
- univerzální fluorescenčně značené primery  
neruší při sekvenování
- rovnoměrnější signál
- delší čtení

**Nevýhoda:**

- sekvenace probíhá ve 4 zkumavkách  
(větší spotřeba templátu)



# Sekvenování se značenými terminátory

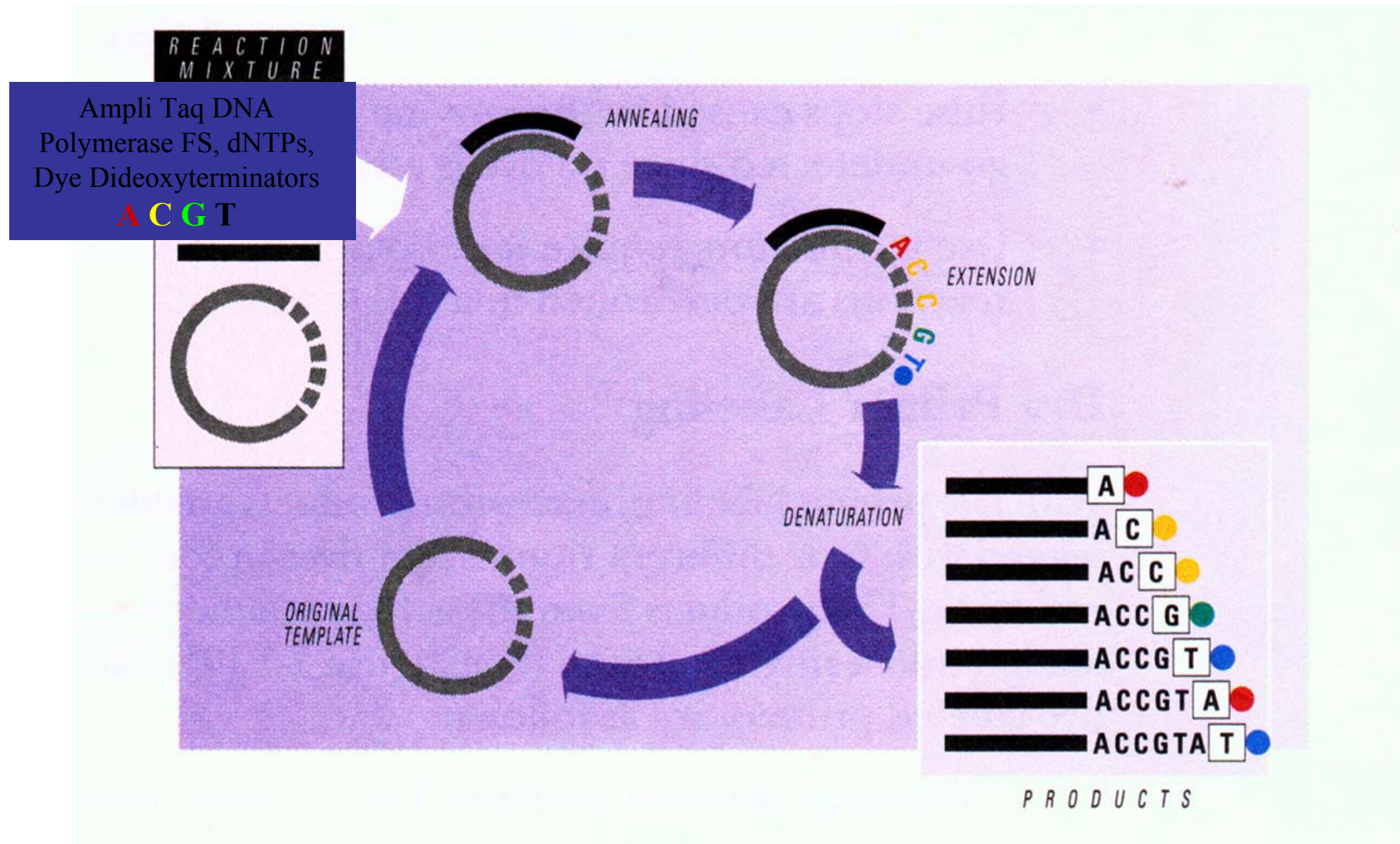


# Sekvenování se značenými terminátory

- Výhody:**
- univerzální metoda
  - používají se neznačené primery
  - reakce probíhá v 1 zkumavce
  - nízká spotřeba templátu

- Nevýhoda:**
- nadbytek nezreagovaných terminátorů může rušit při analýze

# Cyklické sekvenování





# **Genetické analyzátory**

## **ABI PRISM**

# ABI PRISM™

historie genetické analýzy na kapilárách

**1996**  
**310**



**1 capillary**  
**< 10 kb/day**  
**< 700 Gt/day**

**2002**  
**3100**  
*Avant*



**4 capillaries**  
**> 45 kb/day**  
**> 3 500 Gt/day**

**2000**  
**3100**



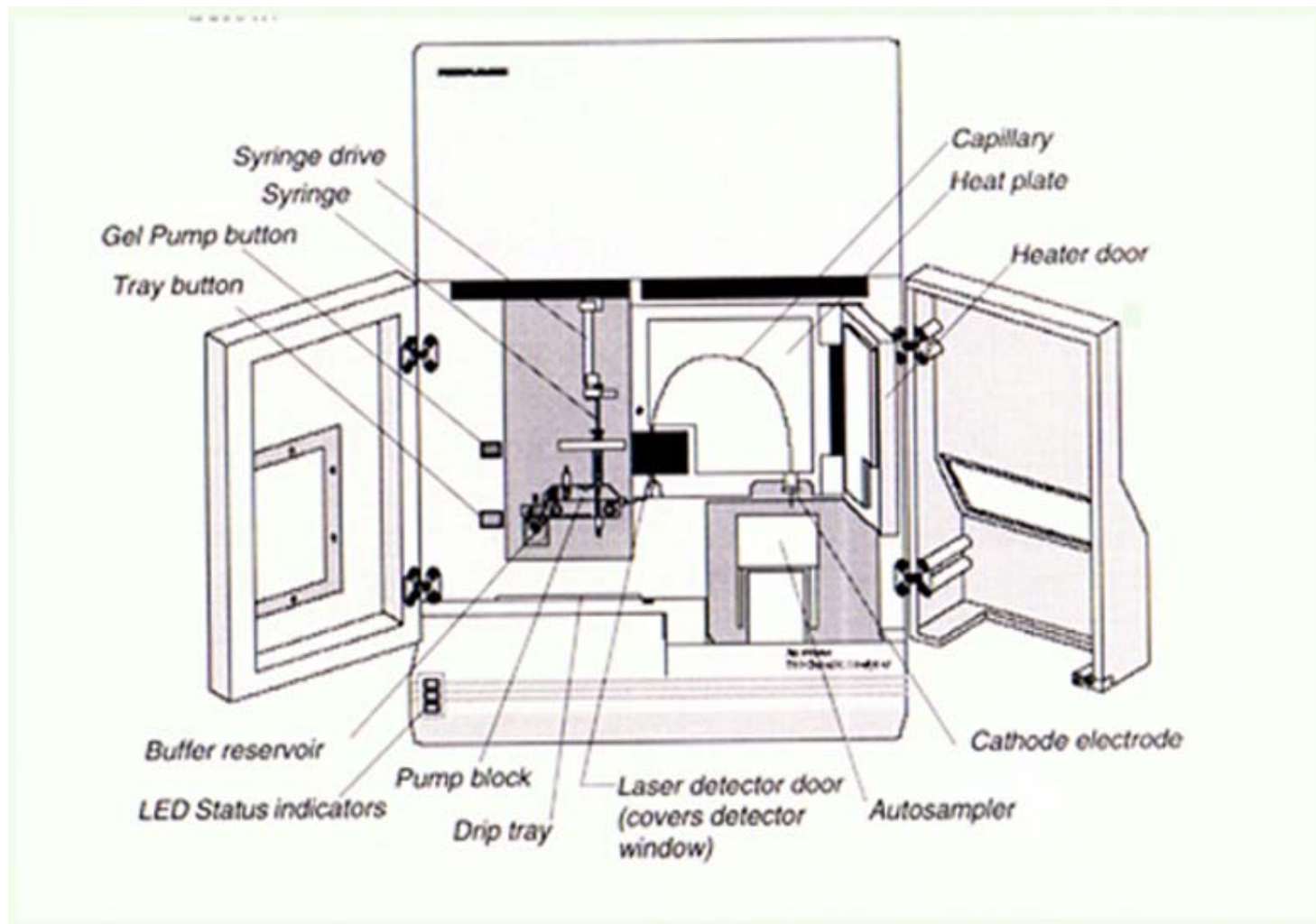
**16 capillaries**  
**> 180 kb/day**  
**> 15 000 Gt/day**

**2002**  
**3730/3730XL**  
**System**

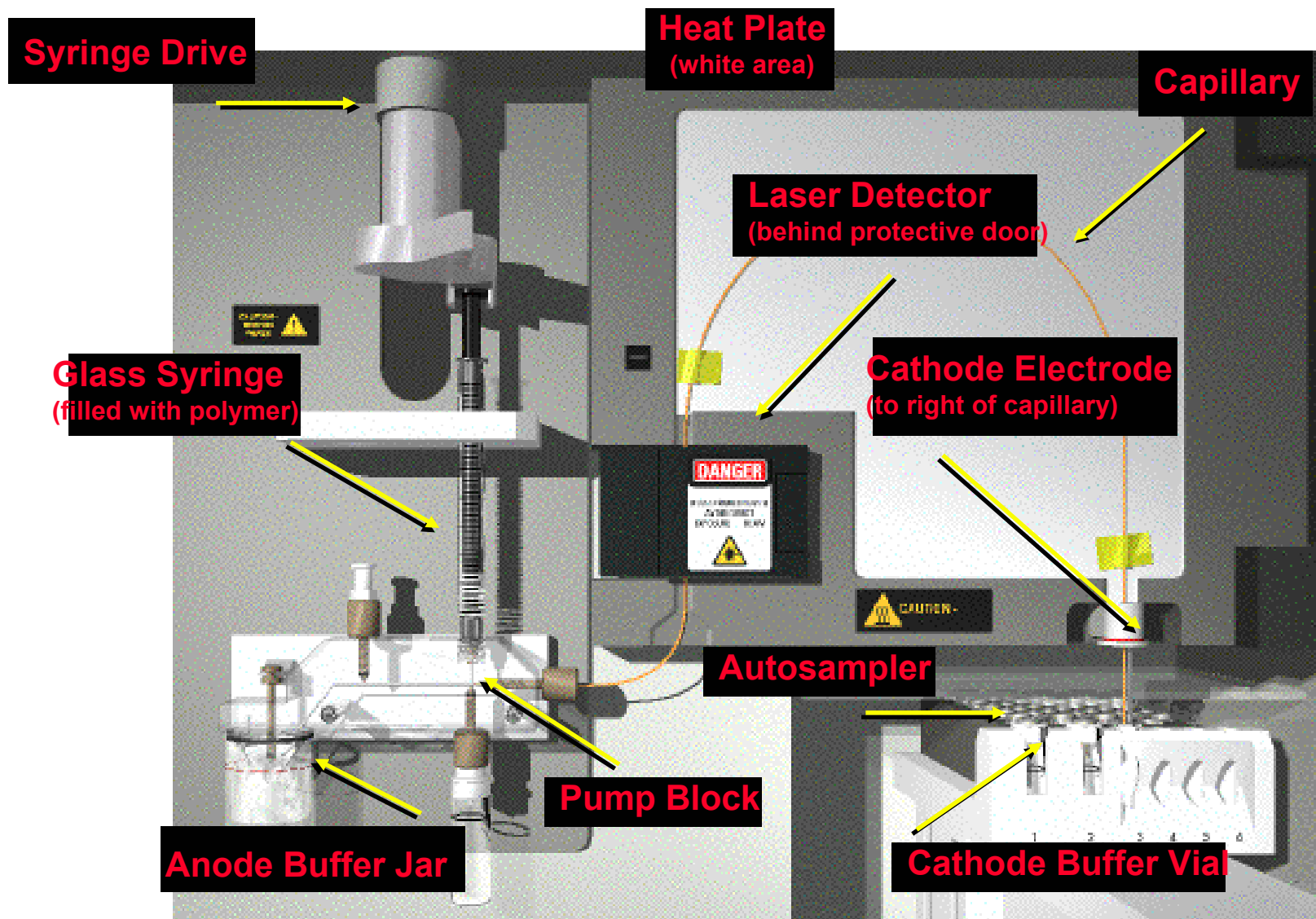


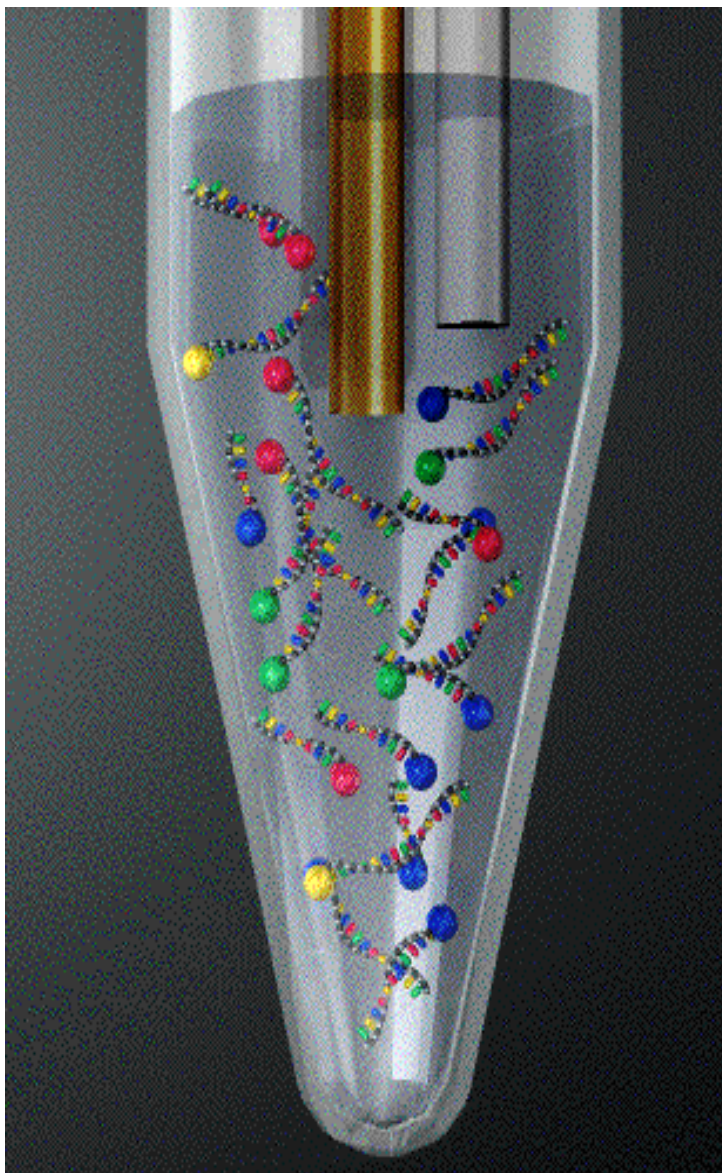
**48/96 capillaries**  
**> 1Mb/day**  
**> 75 000 Gt/day**

# Genetický analyzátor ABI PRISM 310



# Genetický analyzátor ABI PRISM 310





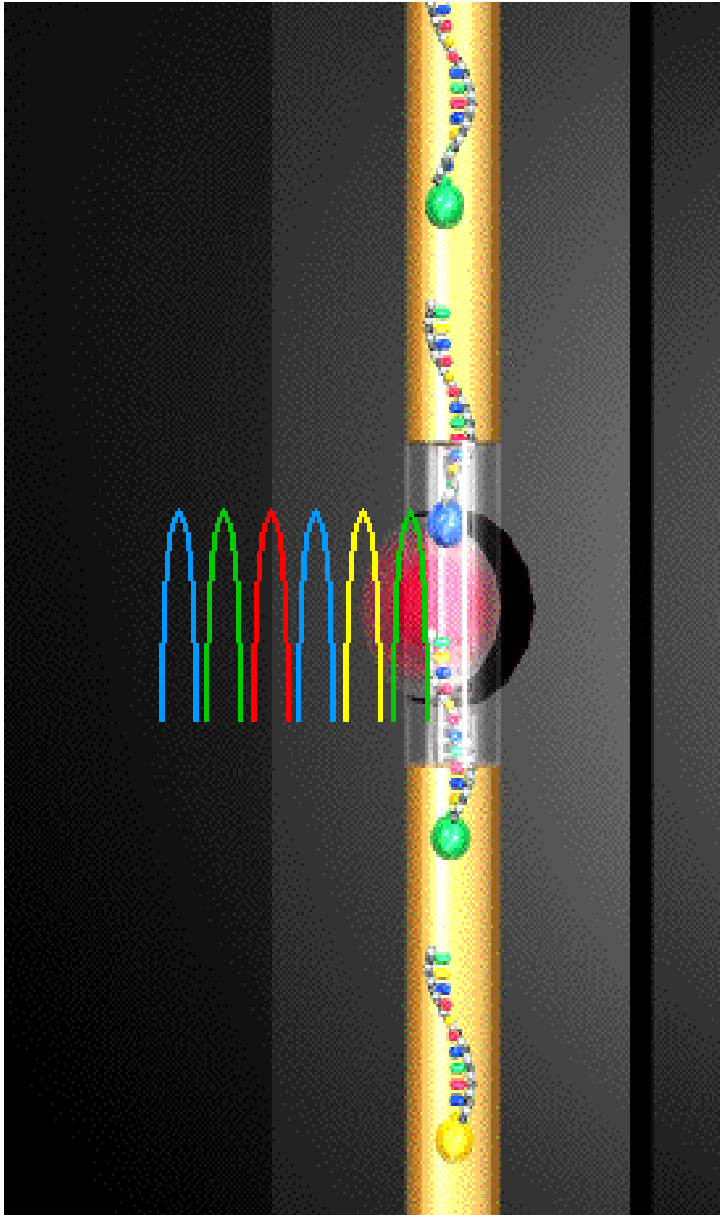
## Elektrokinetické dávkování vzorku a elektroforéza

Kapilára a elektroda vstupují do vialky se vzorkem

Vloží se napětí

Záporně nabitě fragmenty DNA vstupují do kapiláry a postupují směrem k anodě, která je na opačném konci kapiláry

# Excitace fluorescence a detekce



Fragmenty DNA nesoucí jednu ze čtyř fluorescenčních značek jsou ozářeny laserovým světlem

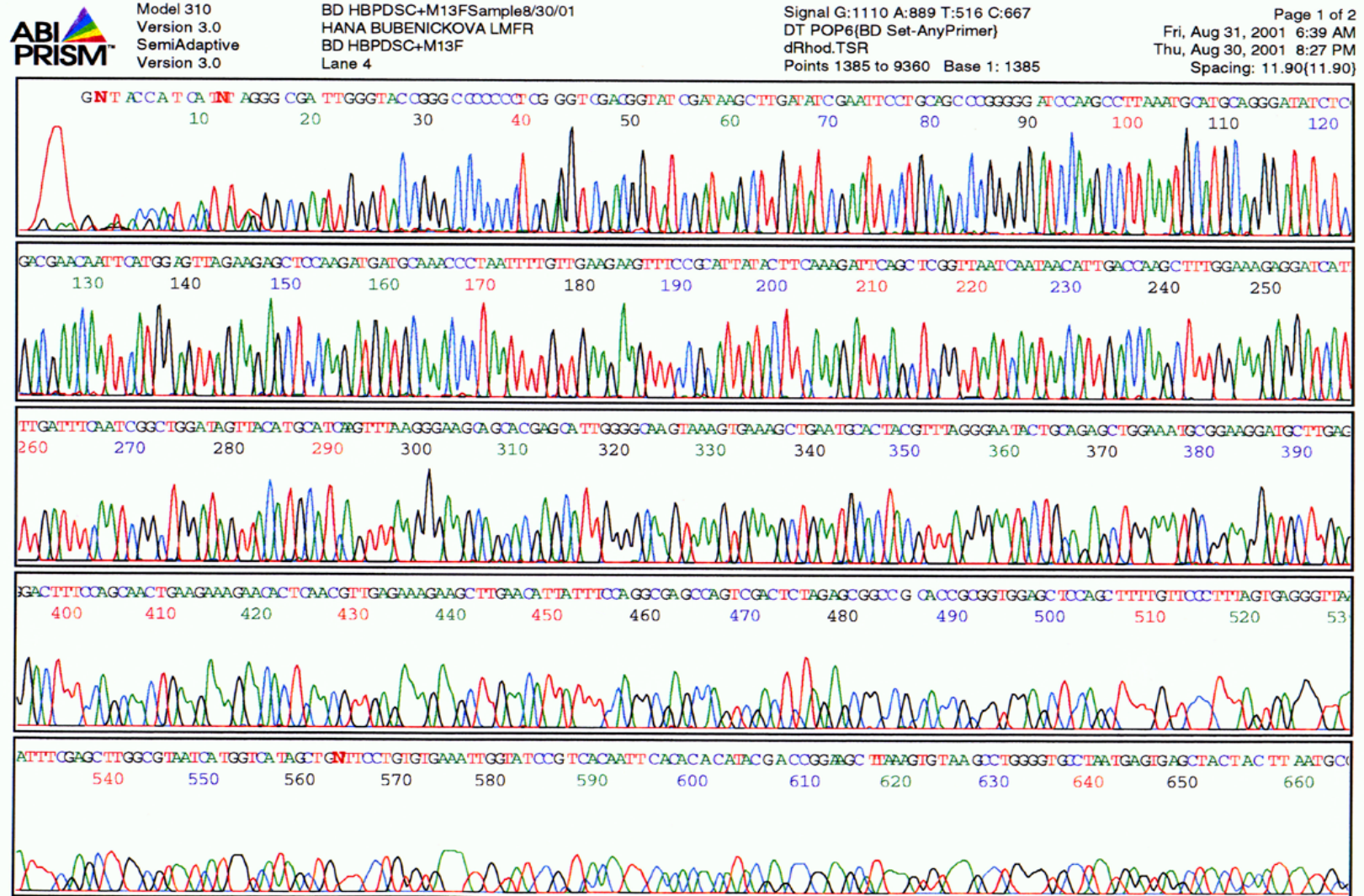
Dochází k excitaci

Emitované světlo je snímáno CCD kamerou  
(4 vlnové délky jsou snímány současně)

Software vyhodnocuje emisní obrazce a převádí je do podoby barevných píků



# Dobrá sekvenace vypadá takto.....





## ...na kvalitu sekvence má vliv:

Templát	způsob přípravy čistota koncentrace sekvence (GC rich, sekundární struktury)
Primer	sekvence délka $T_m$
Protokol	počet cyklů
Úprava vzorku po PCR	
Kvalita použitých chemikálií	expirace čistota způsob skladování

# Expresa a purifikace rekombinantních proteinů

- od genů k proteinům
- základní techniky genového inženýrství
  - expresní vektory
  - stanovení sekvence DNA
  - místně řízená mutageneze
- **expresa rekombinantních proteinů**
  - afinitní značky
  - purifikační postupy

*Než začneme.....*

*Proč???*

**Pro jaký účel ?**

*Co???*

**Jaké vlastnosti má náš protein ?**

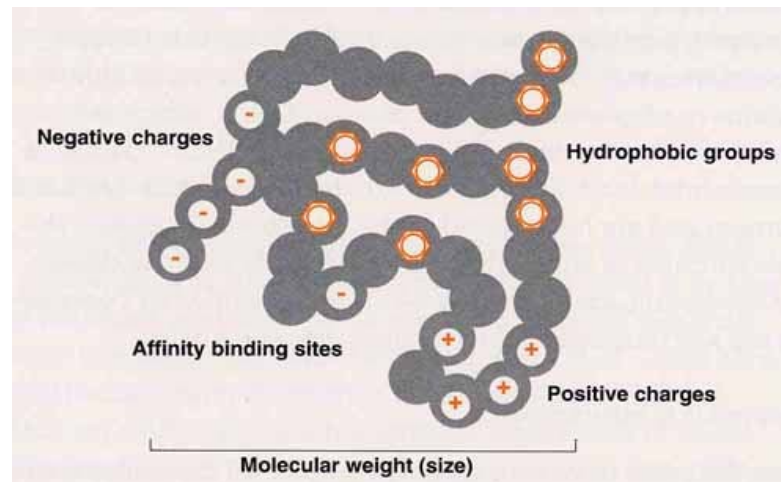
*Jak???*

**Jak protein detekovat?**

## **Množství a čistota**

<b>Krystalizace</b>	<b>μmol</b>	<b>95%</b>
<b>NMR</b>	<b>μmol</b>	<b>95%</b>
<b>Funkční studie</b>	<b>nmol</b>	<b>různá</b>
<b>Produkce protilátek</b>	<b>nmol</b>	<b>90%</b>
<b>Stanovení sekvence</b>	<b>pmol</b>	<b>90%</b>
<b>Hmotnostní spektrometrie</b>	<b>fmol</b>	<b>nízká</b>

# Vlastnosti/purifikační metody



Rozpustnost

precipitace síranem amonným

Velikost/tvar

gelová filtrace

pI (náboj)

iontově výměnná chromatografie

Hydrofobicita

reverzně fázová chromatografie

Vazba

afinitní chromatografie

Stabilita

teplotní precipitace

## Produkce rekombinantních proteinů v *Escherichia coli*

### Výhody:

- organismus s dobře charakterizovaným genomem a proteomem
- design řady vektorů usnadňuje klonování a expresi cizích genů
- nadprodukce rekombinantních proteinů

### Nevýhody:

- cDNA je nezbytností
- absence eukaryotních posttranslačních systémů
- tvorba inkluzních tělísek

# Fúzní proteiny

- translační fúze sekvencí kódujících rekombinantní protein a
  - a) krátký peptid [př. (His)<sub>n</sub>, (Asp)<sub>n</sub>, (Arg)<sub>n</sub> ... ]
    - uniformita purifikace
  - b) přirozený oligopeptid [př. MBP, GST, thioredoxin ...]
    - pozitivní změny kvality a kvantity exprese  
(často zvýšení solubility rekombinantního proteinu)
    - uniformita purifikace
- fúzního partnera lze obvykle selektivně odštěpit



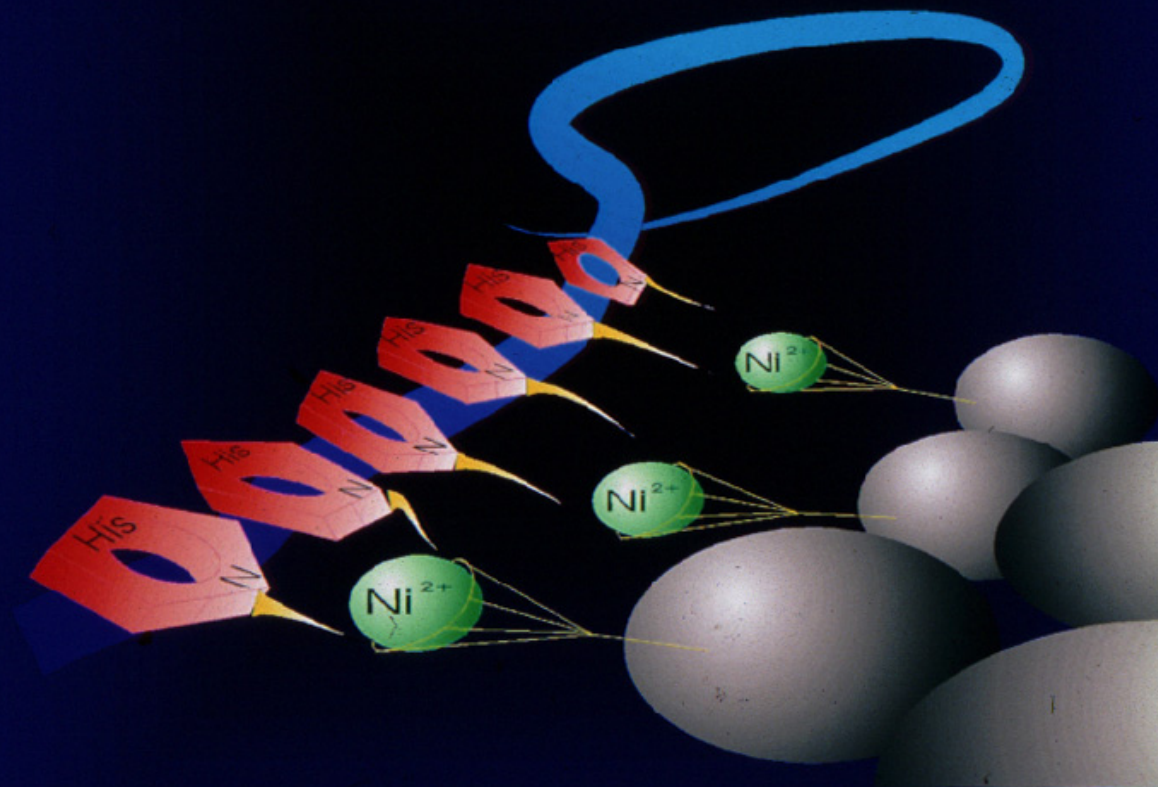
## Příklady rekombinantních fúzních proteinů

Fúze s...	Afinity k...	Eluce...	Odštěpění...
glutathion-S-transferasa	glutathion	glutathion	thrombin
maltose-binding protein	Amylosa	maltosa	faktor Xa
His-tag	Ni-IMAC	histidin, imidazol, pH	thrombin
Thioredoxin	žádná	osmotický, teplotní šok	enterokinasa
Strep-tag	streptavidin	biotin	nelze
.			
.			
.			
.			
.			

# Metalochelatační afinitní chromatografie (MCAC)

- využívá koordinační interakce převážně histidinových zbytků v molekule proteinu s imobilizovaným iontem přechodného kovu
- poprvé popsána jako metoda frakcionace sérových bílkovin (Porath 1975)
- s rozvojem molekulární biologie se stává jednou z nejuniverzálnějších purifikačních technik pro rekombinantní proteiny s oligohistidinovou doménou
- komplexní interakce není ovlivněna chaotropními činidly (např. močovina), lze ji tak využít pro izolaci proteinu z inkluzních tělísek a asistovanou renaturaci
- eluce proteinu lze dosáhnout snížením pH (protonace imidazolové skupiny histidinu), zvýšením koncentrace kompetitivního činidla (např. imidazol) nebo silného chelatoru (např. EDTA)

# Ni-NTA Agarose based Protein Purification



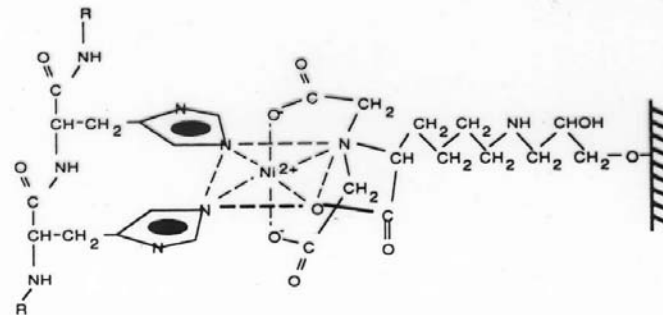


Figure 3: Interaction between 6xHis tag and Ni-NTA resin.

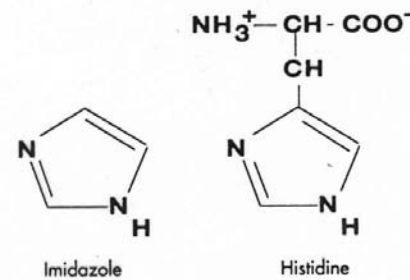


Figure 5: Structures of imidazole and histidine.

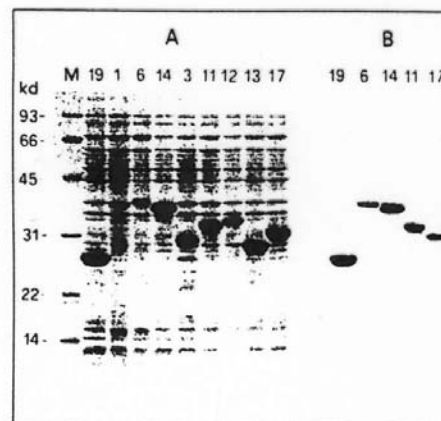


Figure 4: Expression and purification of malaria circumsporozoite antigens with QIAexpress.

A. SDS-Page analysis of recombinant 6xHis-tagged CS proteins, 5 hours after induction with IPTG.

B. SDS-Page analysis of recombinant CS proteins after purification on Ni-NTA resin according to the standard protocol, and elution at pH 5.9. Each protein is more than 80% pure.

D. Stüber, Hoffmann - La Roche, Basel, Switzerland.

# Metalochelatační afinitní chromatografie

## Jednokroková purifikace za nativních a denaturačních podmínek

Protokol nativní IMAC konkrétního proteinu je zčásti nepřenositelný na jiné proteiny!

### Obecně lze navrhnout:

- ➡ pufrý o pH 7-8 pro vazbu rek. proteinu s kovovým iontem
- ➡ pufrý s vysokou koncentrací solí (např. 0,5-1 mol/l NaCl)
- ➡ nižší koncentrace imidazolu nebo snížení pH pro odstranění balastních proteinů
- ➡ eluce použitím gradientu imidazolu (0-1 mol/l), výrazným snížením pH nebo využitím EDTA

# **Metalochelatační afinitní chromatografie**

## **Jednokroková purifikace za nativních a denaturačních podmínek**

### **Denaturační IMAC** – purifikace proteinů v inkluzních těliscích

- ➡ purifikace za vysokých koncentrací močoviny nebo guanidinium chloridu
  - čistý protein, ale porušení terciární/kvartérní struktury (postačí však např. na imunizace)

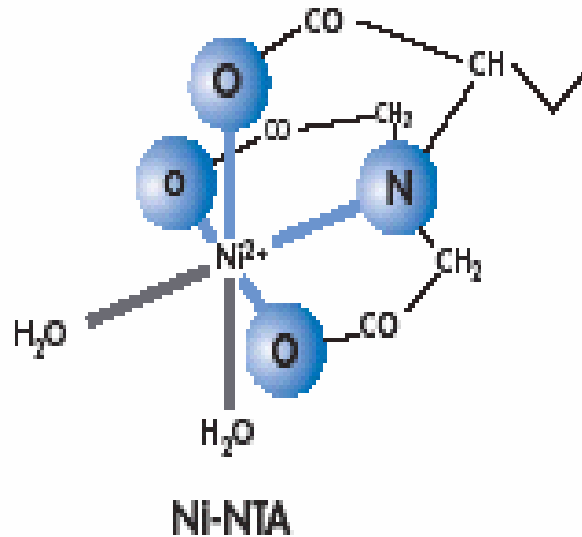
Získání nativního konformeru: - nutné pro měření enzymové kinetiky, rtg analýza,...

- eluce enzymu z kolony a jeho renaturace dialýzou nebo výrazným zředěním v renaturačních pufrůch
- renaturace enzymu vázaného na matrici:
  - ➡ gradient z denaturačních do renaturačních pufrů
  - ➡ pulzní renaturace



# Metalochelatační matrice

## $\text{Ni}^{2+}$ NTA (nitrilotrioctová kyselina)



- nejčastěji používaný systém
- NTA poskytuje 4 volné elektronové páry do koordinační vazby → pevná vazba chelator-kov → nedochází k uvolňování  $\text{Ni}^{2+}$  iontu během purifikace

## Ni-NTA matrice

Ni-NTA Agarosa

Ni-NTA Superflow

-vazba Ni-NTA na agarosu

- vysoká vazebná kapacita (5-10 mg/ml)

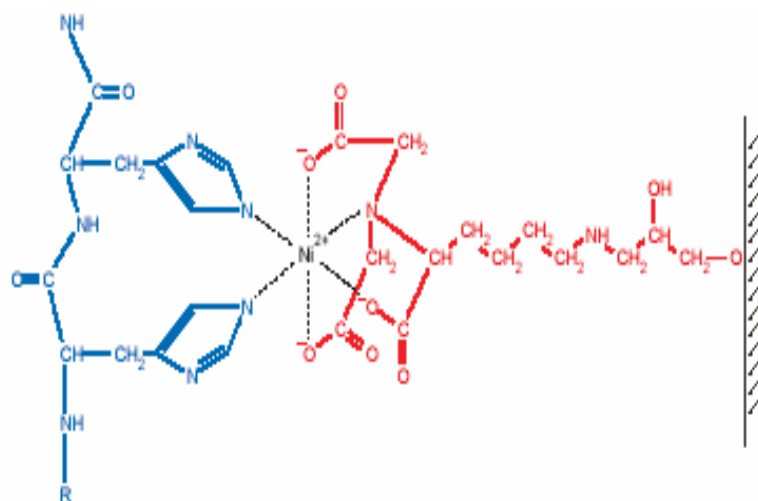
- vysoká stabilita

- dobré manipulační vlastnosti  
(plnění kolon)

- vhodná pro FPLC

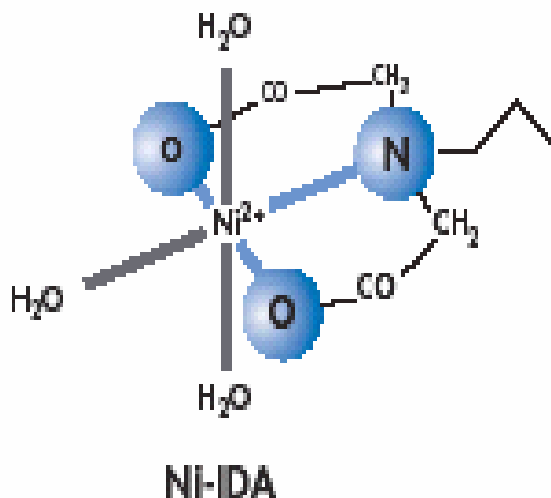
- vazba Ni-NTA na ???

- dá se použít i při vyšších tlacích



# Metalochelatační matrice

## $\text{Ni}^{2+}$ -IDA (imidodioctová kyselina)



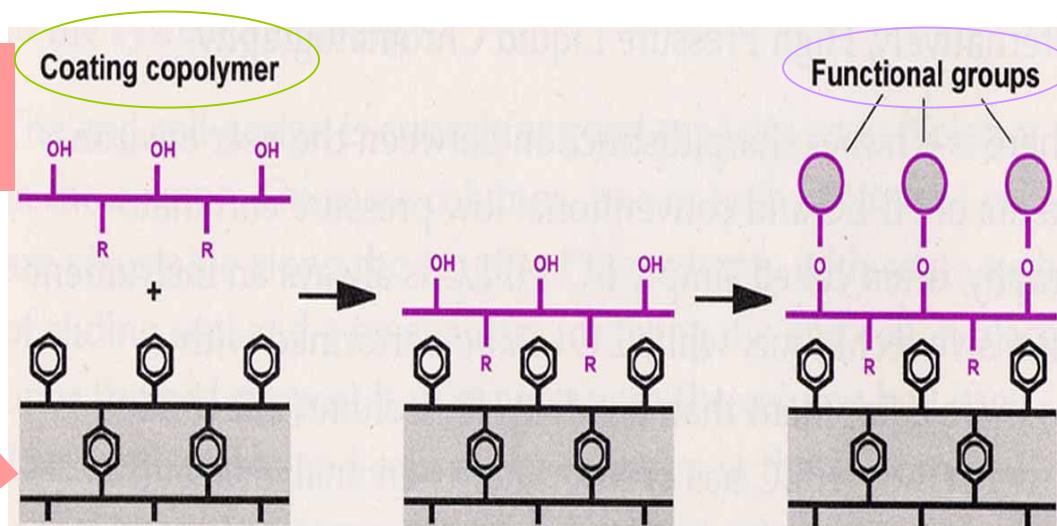
- IDA tvoří výhodné cheláty s  $\text{Ni}^{2+}$ ,  $\text{Co}^{2+}$ ,  $\text{Zn}^{2+}$ ,  $\text{Cu}^{2+}$  ionty
- 3 metalochelatační místa - vazba chelator - kov není tak pevná dochází k uvolňování kovu během purifikace



## Matrice POROS MC/M

vazba přechodného kovu

polyhydroxylovaný  
polymer



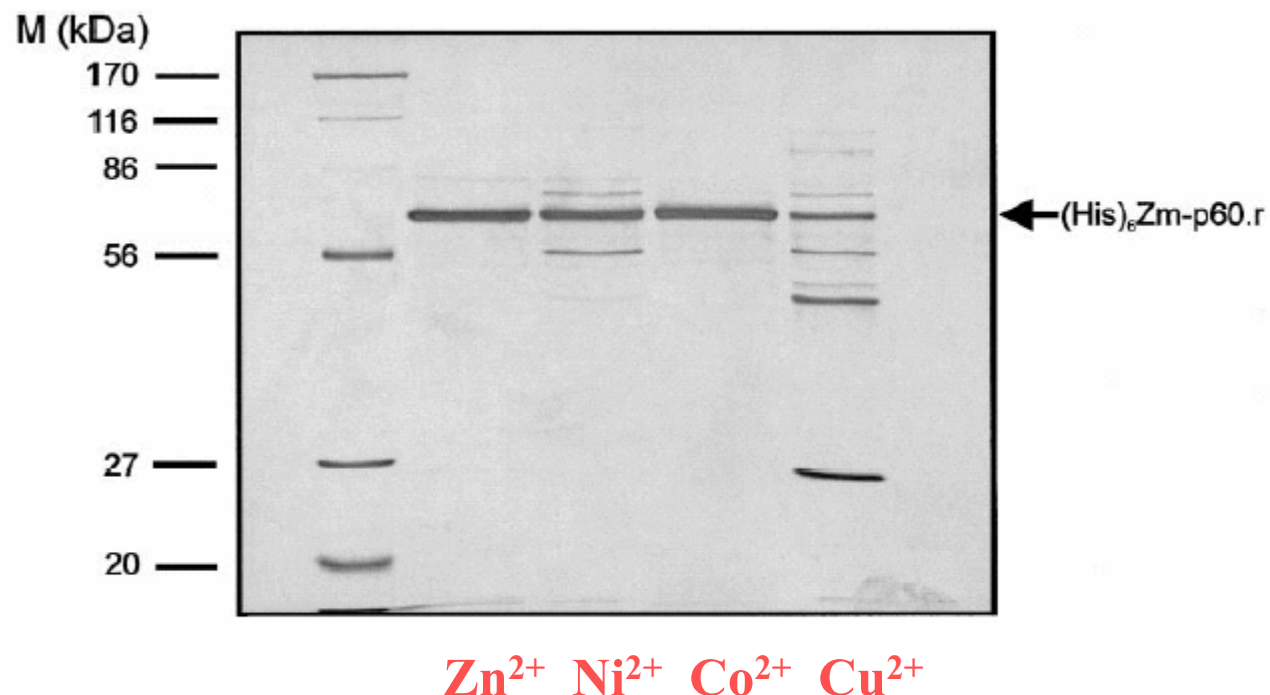
imidodioctová  
kyselina

částice zesíťovaného poly(styren-divinylbenzen)  
- patentovaná velikost pórů

Vazebná kapacita: 20 mg/ml (myoglobin,  $\text{Cu}^{2+}$ )

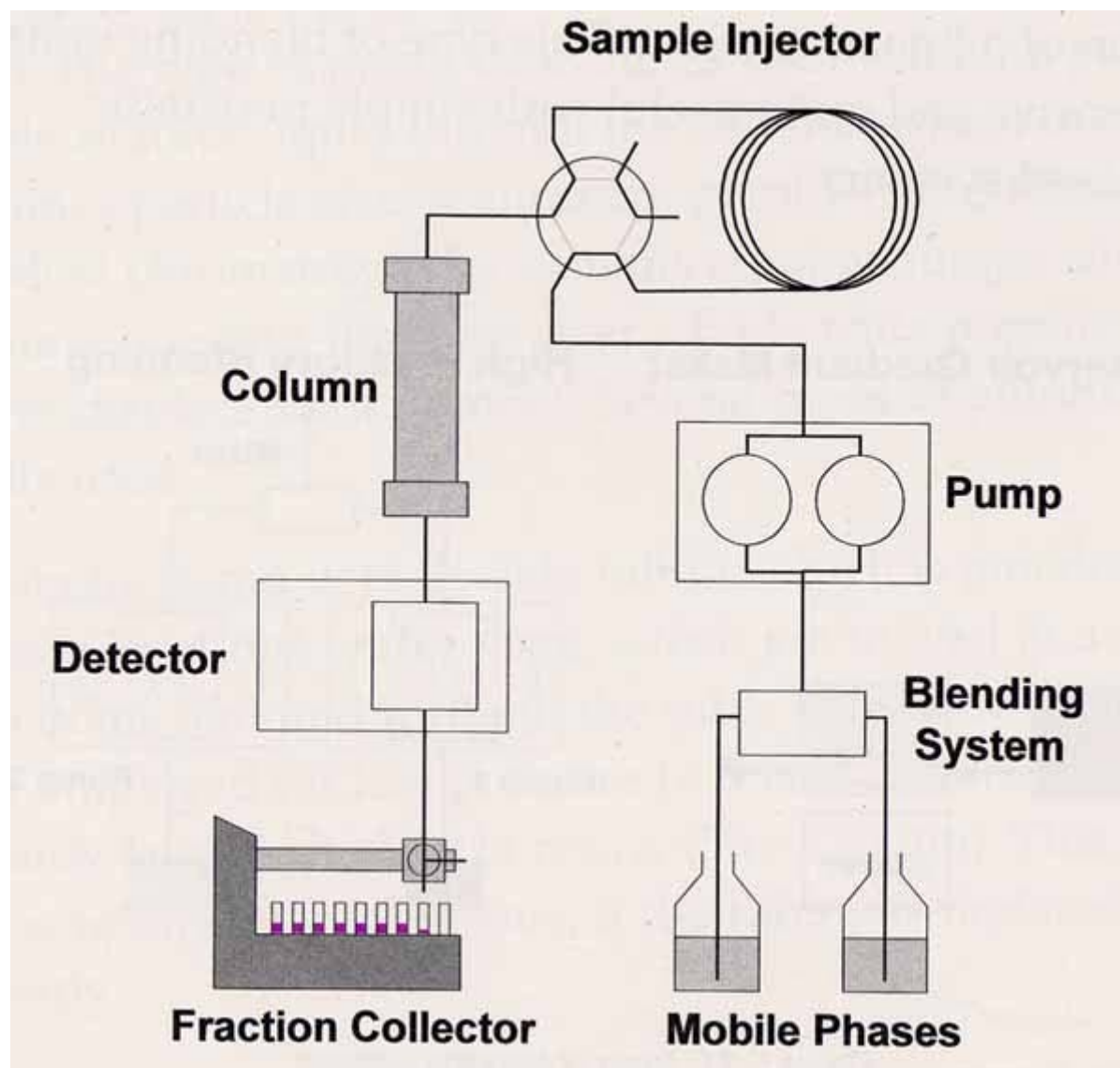
## Efekt kovového iontu navázaného na POROS MC/M matrici

Funkční skupina- imidodioctová kyselina



Síla vazby:  $\text{Cu}^{2+} > \text{Ni}^{2+} > \text{Zn}^{2+} \sim \text{Co}^{2+}$

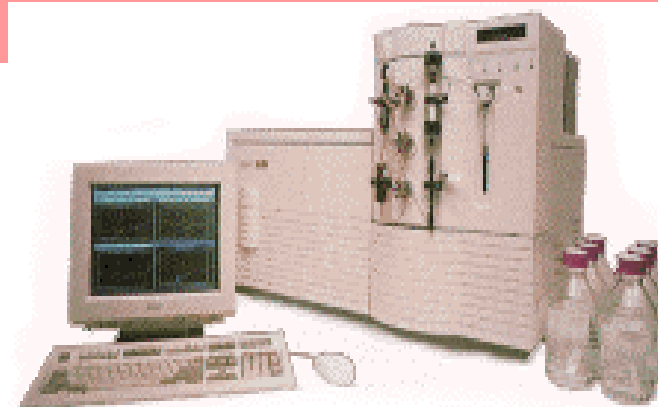
# Chromatografická instrumentace



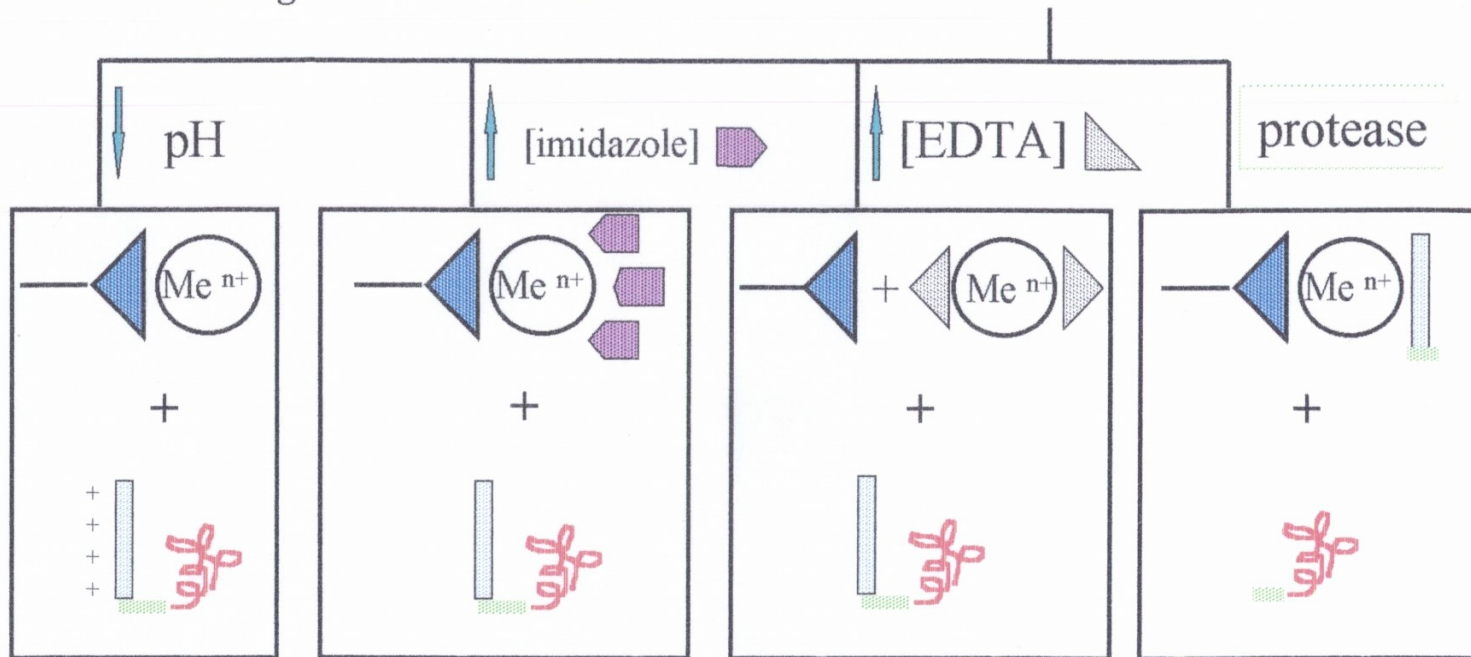
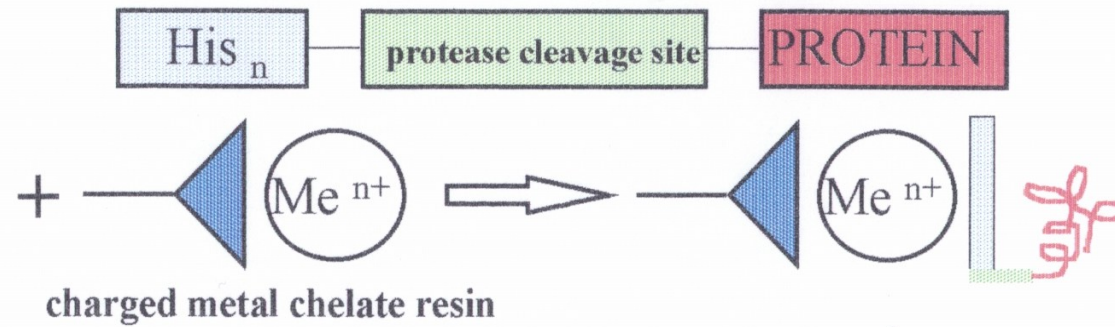


# Perfúzní chromatograf BioCAD 700E, PerSeptive Biosystems

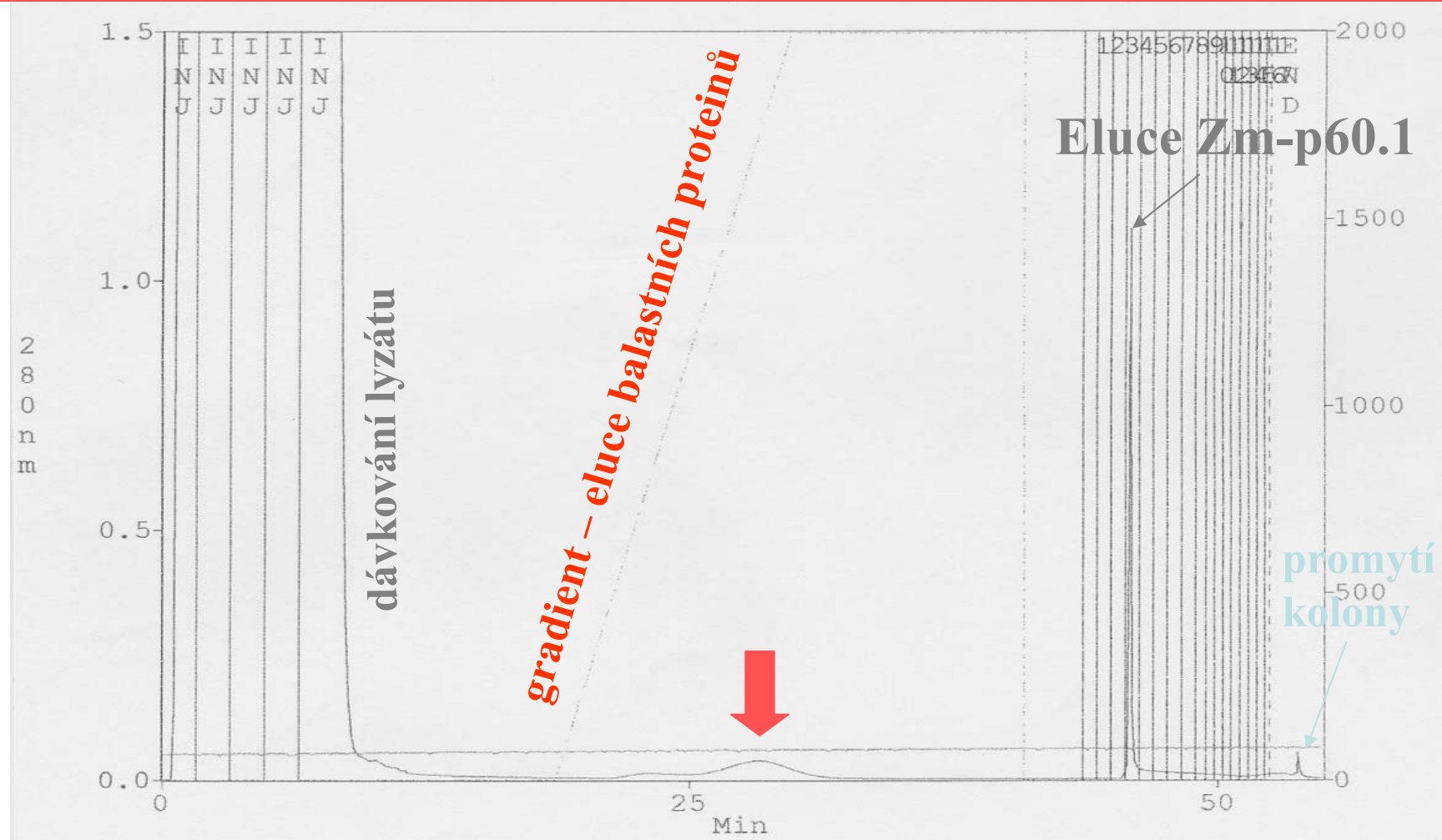
- HPLC i FPLC aplikace na jakékoliv koloně
- optimální je využití perfúzních sorbentů Poros
  - + zkrácení doby separace na 1/10 až 1/100 času nutného pro použití klasických sorbentů
- dávkování vzorku v rozmezí  $\mu\text{l}$  – l
- nasazení až tří kolon
- automatické vytváření gradientu (pH, iontové síly,..)
- automatický sběrač frakcí
- detektory: UV/vis pH elektroda, vodivostní čidlo
- rychlost toku od 0,5 do 60 ml/min
- data, metody, konfigurace automaticky uloženy do paměti



## Immobilized metal affinity chromatography



# Chromatogram – purifikace na koloně Poros MC/M (Zn-IDA)



Roztok kovu: 50 mM  $\text{ZnSO}_4$

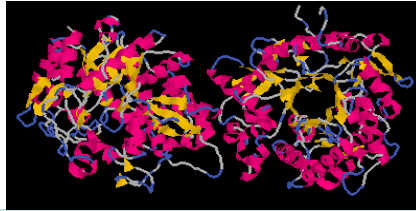
Ekvilibrace kolony: pufr **A** : 50 mM  $\text{Na}_2\text{HPO}_4/\text{NaH}_2\text{PO}_4$  , 1M NaCl pH 7,0

Eluce balastních proteinů: gradient 0-100% **B**

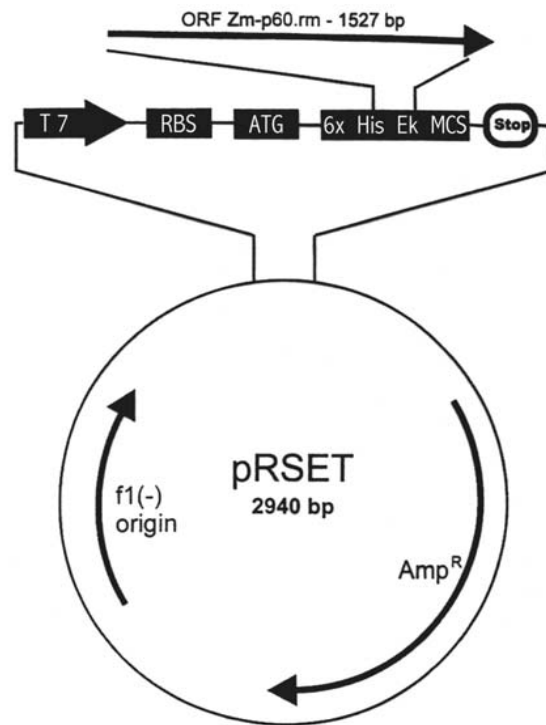
pufr **B** : 50 mM  $\text{Na}_2\text{HPO}_4/\text{NaH}_2\text{PO}_4$  , 50 mM imidazol, 1M NaCl, pH 6,1

Eluce Zm-p60.1: 0,1 M EDTA, 1 M NaCl, pH 8

# Rekombinatní deriváty kukuřičné $\beta$ -glukosidasy



## Expresní konstrukt pRSETA::Zm-p60.r



### Exprese:

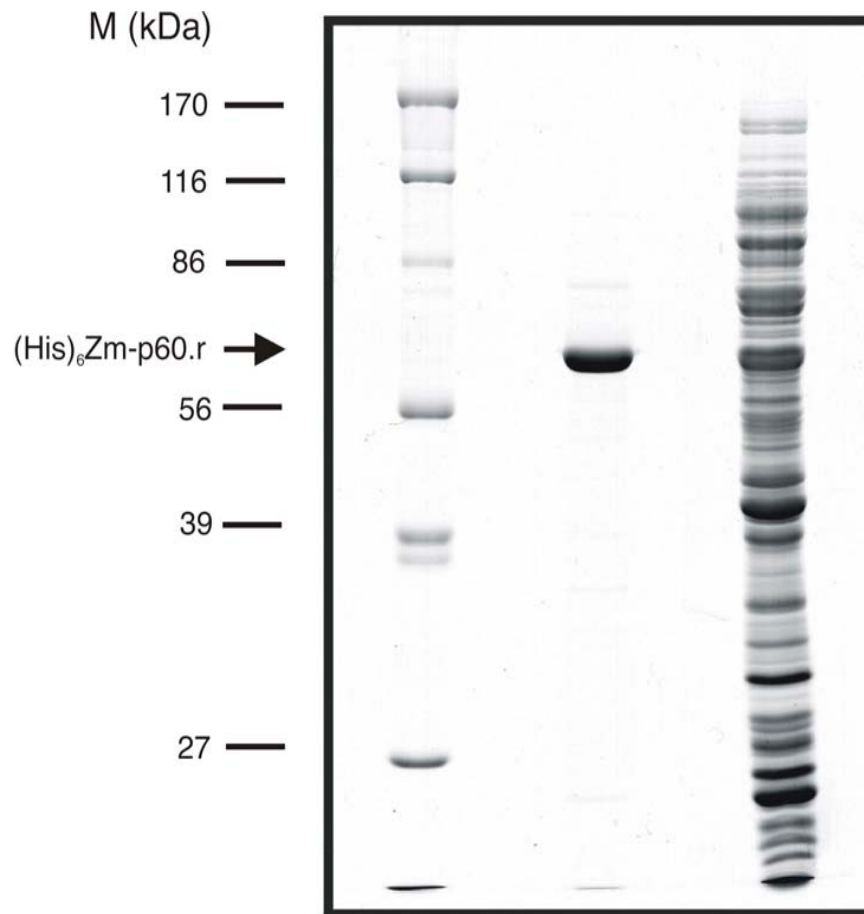
- kmen BL21(DE3)pLysS *E. Coli*
- IPTG-inducibilní T7 RNA polymerasa
- Zm-p60.r pod T7 promotorem
- inhibice RNA polymerasy *E. coli* rifampicinem

### Purifikace:

- His tag na N-konci proteinu
- metalochelatační afinitní chromatografie
- POROS MC/M Zn-IDA matrice (hlavně WT)
- NiNTA Superflow s následnou gelovou filtrací (mutantní formy)

# Rekombinantní derivát (His)<sub>6</sub>Zm-p60.r

- konstrukt pRSET::*Zm-p60.r*, bakteriální kmen BL21(DE3)pLysS
- nativní purifikace na koloně POROS MC/M IDA-Zn<sup>2+</sup>



## Expres:

- IPTG-inducibilní T7 RNA polymeráza (kódována na chromozómu)
- T7 lyzozym (pod T7 promotorem, plazmid pLysS, inhibitor T7 RNA polymerázy)
- rifampicin, inhibice RNA polymerázy *E. coli*
- *Zm-p60.1* pod T7 promotorem

## Purifikace:

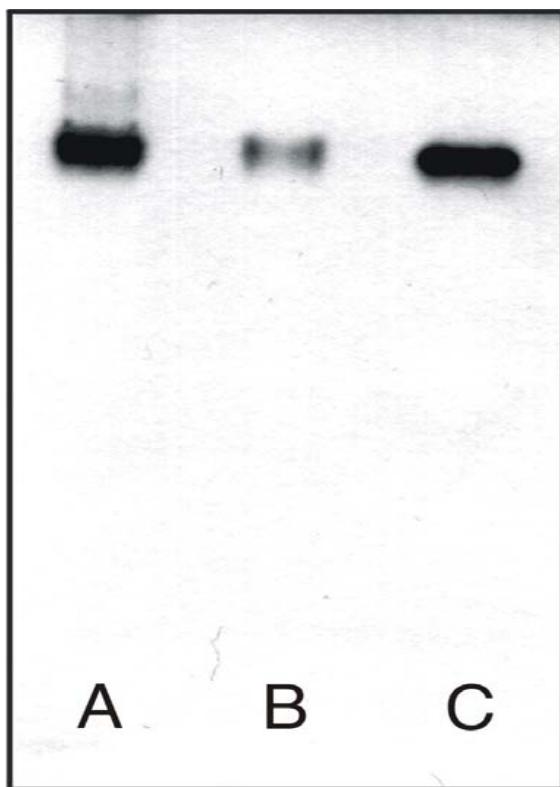
- metalochelatační afinitní chromatografie
- perfúzní sorbent POROS MC/M
- komplex iminodiacetát-Zn<sup>2+</sup>
- 80% výtěžek, 95-násobné přečištění

## Použití:

- rutinní produkce a izolace standardního kmene a solubilních mutantních forem

# *In vitro* asistovaná renaturace (His)<sub>6</sub>Zm-p60.r podle Etzerodt M. et al.: WPA 94/18227 (1994)

- denaturovaný protein (v 8M močovně) vázán na matrici s imobilizovaným Ni<sup>2+</sup>
- redukce silným redukčním činidlem, přerušení disulfidických můstků
- protein denaturován/renaturován cyklickými pulzy denaturantu/renaturantu se snižující se koncentrací denaturantu v každém cyklu



## Metoda:

- 23 denaturačních/renaturačních cyklů
- eluce produktu 0,1 M EDTA

## Analýza produktu renaturace (RP):

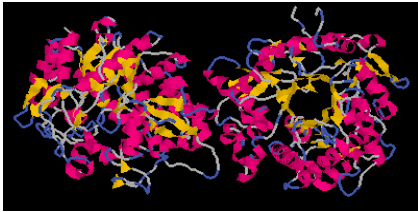
- nativní PAGE s detekcí enzymové aktivity:
  - A: proteinový extrakt z koleoptilí *Zea mays*
  - B: renaturační produkt
  - C: (His)<sub>6</sub>Zm-p60.r purifikovaná za nativních podmínek
- analýza kinetických parametrů
  - $K_M(\text{WT}) = 0,60 \pm 0,08 \text{ mM}$
  - $K_M(\text{RP}) = 0,64 \pm 0,06 \text{ mM}$

## Použití:

- renaturace nesolubilních mutant Zm-p60.1



# Rekombinatní deriváty kukuřičné $\beta$ -glukosidasy



## Expresní konstrukt pET32::Zm-p60.r

- pro mutanty Zm-p60.1 se sníženou rozpustností nebo narušenou kvartérní strukturou

➔ zlepšuje folding proteinu

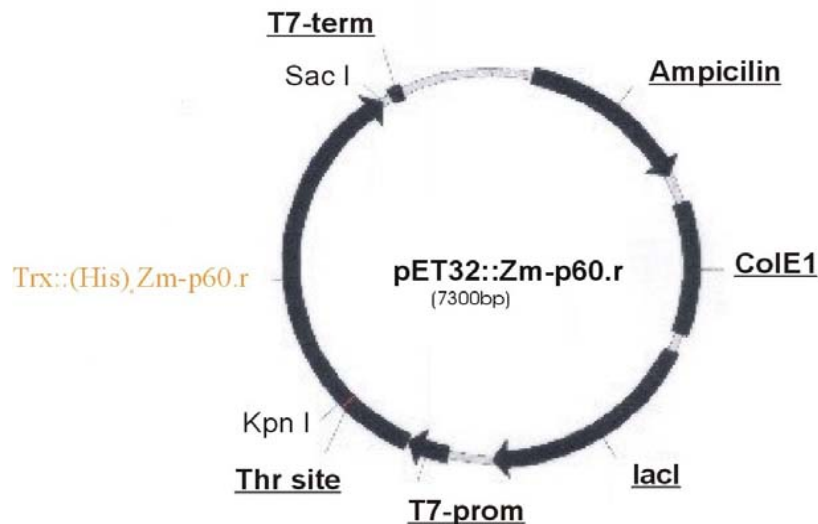
### THIOREDOXIN

➔ přirozený bakteriální protein- lépe rozeznáván translačním aparátem *E. coli*

➔ neovlivňuje funkci enzymu - nemusí být odštěpen

## Exprese:

- kmen BL21(DE3)pLysS *E. Coli*
- IPTG-inducibilní T7 RNA polymerasa
- Zm-p60.1 pod T7 promotorem

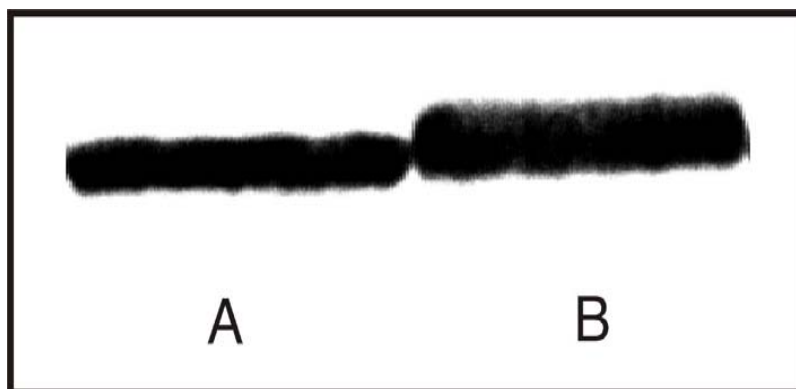


## Purifikace:

- His tag na N-konci
- metalochelatační afinitní chromatografie
- matrice POROS MC/M Zn-IDA (WT i mutantní formy Zm-p60.1)

# Rekombinantní derivát hpTrx::Zm-p60.r

- konstrukt pThioHisA::*Zm-p60.r*, bakteriální kmen JM109
- významný nárůst podílu solubilní frakce rekombinantního proteinu
- fúzním partnerem His-patch thioredoxin (Lu et al. 1996) s afinitou k imobilizovaným iontům přechodných kovů



## Exprese:

- bakteriální RNA polymeráza
- *Zm-p60.1* pod hybridním *trc* promotorem
- 80% podíl solubilní frakce (A) na celkovém rekombinantním proteinu standardního typu (B)

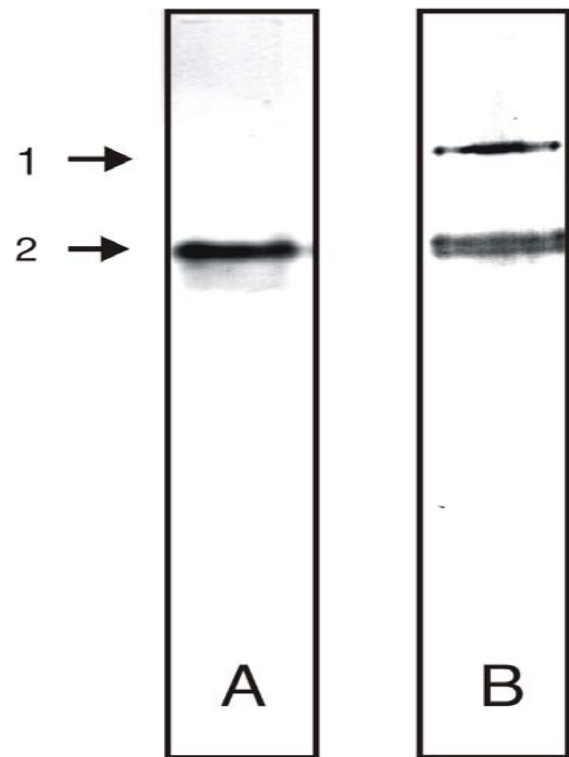
## Purifikace:

- metalochelatační afinitní chromatografie

## Použití:

- produkce a izolace mutantních forem
- Zm-60.1* se sníženou solubilitou

# Použití fúzní technologie při expresi mutanty Zm-p60. s porušenou nativní strukturou



- mutanta I404D produkovaná jako derivát  $(\text{His})_6\text{Zm-p60.rm}$  vykázala poruchu při tvorbě nativní dimerní struktury (A), byla nalezena ve formě enzymaticky neaktivního monomeru (2)
- následně byla exprimována jako fúzní protein  $\text{hpTrx}::\text{Zm-p60.rm}$  (B), byla identifikována enzymaticky aktivní dimerní forma (1)
- thioredoxin je lépe rozeznávaný translačním aparátem *E. coli*
- může thioredoxin fungovat jako kovalentně vázaný chaperon? (LaVallie 1993)

# Otázky